



Estudo e Pesquisa em Física, Kansas State University, EUA



Atomic, molecular, optical physics (ion accelerators, attosecond lasers, high-harmonics, intense laser fields, Bose-Einstein condensation)

Condensed, soft and biological physics (magnetism, electromagnetics, polymers, colloids, proteins, nanoparticles, fractals, nanowires, self-organization, biophysics, cell physics)

Cosmology and particle physics (gravitation, dark matter, neutrinos, high energy accelerators, standard model)

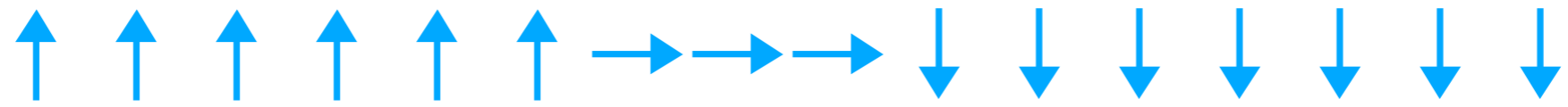
Physics education research (teaching, problem solving, learning transfer)

Estudo de graduação: www.phys.ksu.edu/undergraduate.html

Estudo de pós-graduação: www.phys.ksu.edu/graduate.html

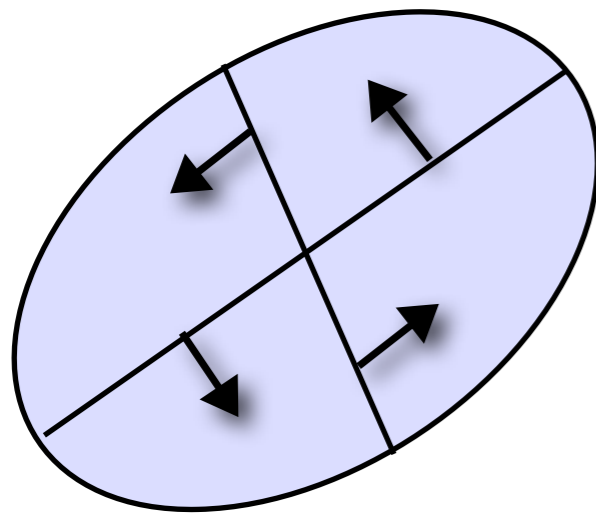
wysin@phys.ksu.edu

www.phys.ksu.edu/personal/wysin



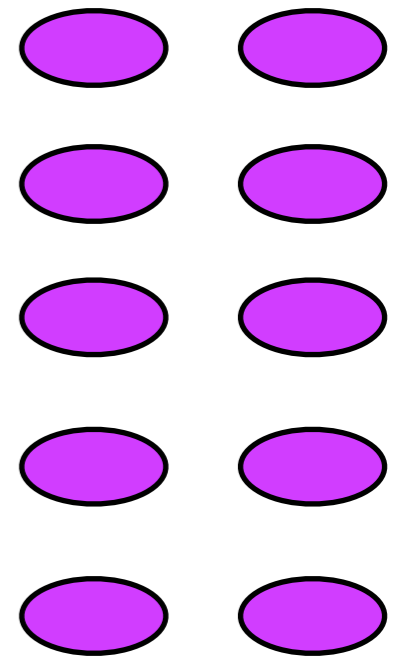
Energia e Dinâmica de Vórtices em Nanopontos Magnéticos

Universidade Federal de Santa Catarina
25 Maio, 2012



Gary Wysin
Kansas State University
Manhattan, Kansas, U.S.A.

wysin@phys.ksu.edu
www.phys.ksu.edu/personal/wysin



Agradecimentos:

UFSC - Física - Prof. Wagner Figueiredo

UFV - Física - Profs. Afrânio Pereira, Winder Moura-Melo

FAPEMIG - Bolsa de Pesquisador Visitante.

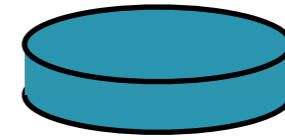
Kansas State University?



KSU



Nanopontos magnéticos



Aprox. 50 nm - 5 um, individuais & matrizes, feito de materiais magnéticos macios, crescidos com técnicas de epitaxia & litografia.

Podem ser ilhas em um substrato **não-magnético**. Formam matrizes de partículas que interagem.

Eles terão **efeitos novos** devido ao tamanho pequeno: (ondas de spin modificadas, efeitos de superfície, sensibilidade especial como detetores).

Dois estados principais:

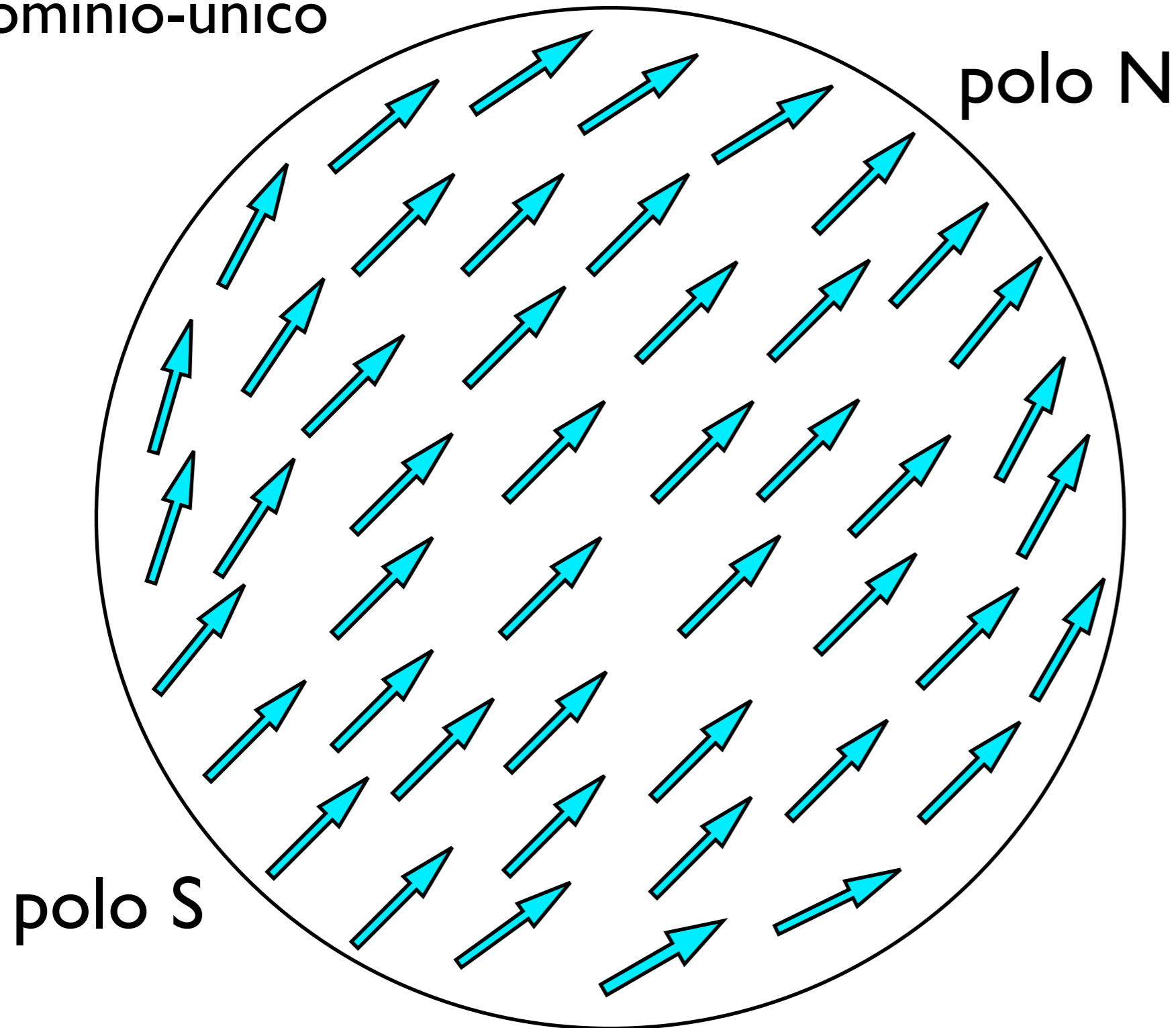
- (1) um domínio único;
- (2) um vórtice.

Nanopontos magnéticos: aplicações

- elementos de memória, processamento de sinais
- armazenamento não volátil (**magnetic ram**)
- utilizar em sensores de magnetoresistência (**GMR**)
- integração dentro de **spintronics** (comutação entre estados via corrente de spin polarizada.)
- ◎ **estado de um vórtice** com pequeno campo externo.

Magnetização M num ponto circular

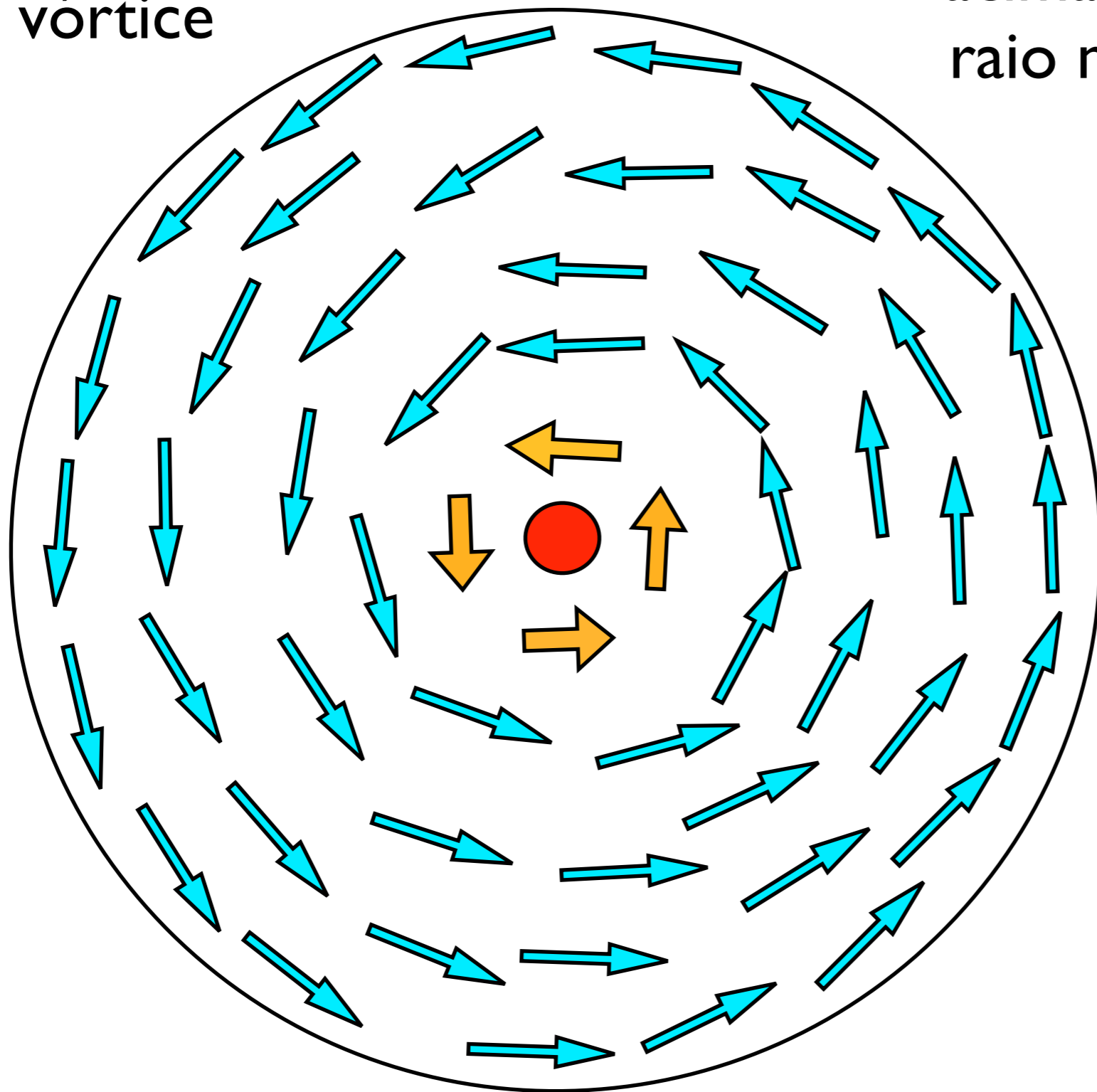
(I) Quase-
domínio-único



Os polos
requerem
energia extra.

A energia de
troca é
pequena.

(2) Estado de um vórtice



Só estável
acima de um
raio mínimo

Só tem polos
($\pm z$) no núcleo. ●
A energia deles
é pequena.

Agora a energia
de troca
aumentou.

Estados de um vórtice.

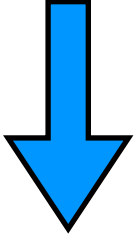
A. Energia & Potencial $E(X)$?

$X=(x_v, y_v)$ =posição do centro do vórtice.

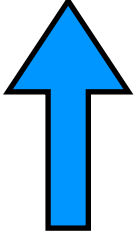
B. Dinâmica e frequência ω_G do movimento girotrópico?

$V=(V_x, V_y)$ =velocidade do centro do vórtice.

Como estudar as propriedades dos vórtices magnéticos dentro de um nanoponto cilíndrico?



Definir as energias magnéticas num disco de Permalloy, como funções da magnetização M .



Olhar vórtices como partículas com cargas, **transições entre estados internos**, objetos para guardar dados, e com dinâmica $X(t)$ interessante.



Energia \Rightarrow **potencial** $E(X)$, utilizando **vínculos de Lagrange**.



Energia \Rightarrow a **dinâmica** $M(t)$, via uma **equação de Langevin**.



Resultados: **Estabilidade**, **movimento girotrópico**, a **frequencia** como função da geometria, etc.



Magnetic Vortex Core Observation in Circular Dots of Permalloy

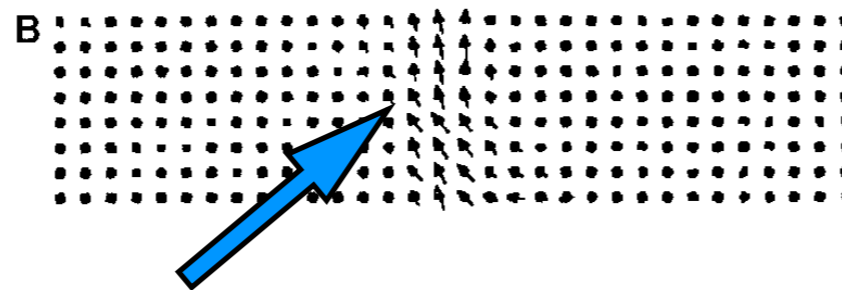
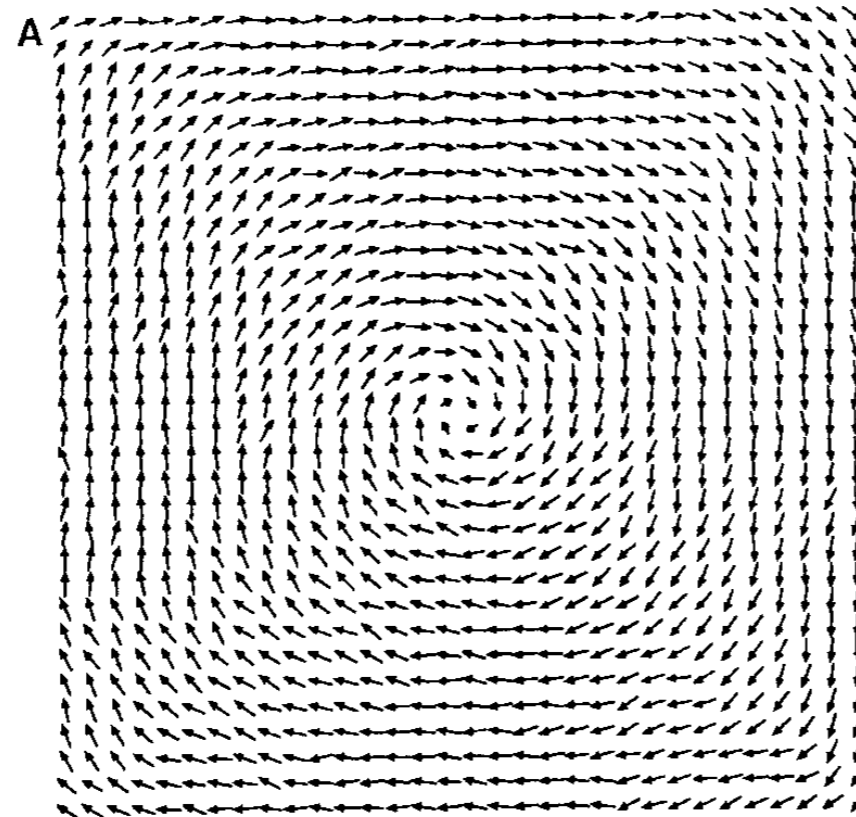
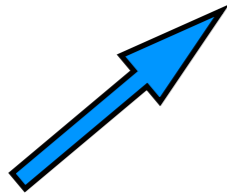
T. Shinjo,^{1*} T. Okuno,¹ R. Hassdorf,^{1†} K. Shigeto,¹ T. Ono²

930

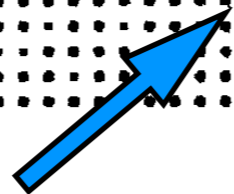
11 AUGUST 2000 VOL 289 SCIENCE www.sciencemag.org

Fig. 1. Monte Carlo simulation for a ferromagnetic Heisenberg spin structure comprising $32 \times 32 \times 8$ spins [courtesy of Ohshima *et al.* (2)]. **(A)** Top surface layer. **(B)** Cross-section view through the center. Beside the center, the spins are oriented almost perpendicular to the drawing plane, jutting out of the plane to the right and into the plane to the left, respectively. These figures represent snapshots of the fluctuating spin structure and are therefore not symmetric with respect to the center. The structure should become symmetric by time averaging.

$M(r)$



$M_z \approx \pm M_s$ no núcleo



Os núcleos dos vórtices aparecem.

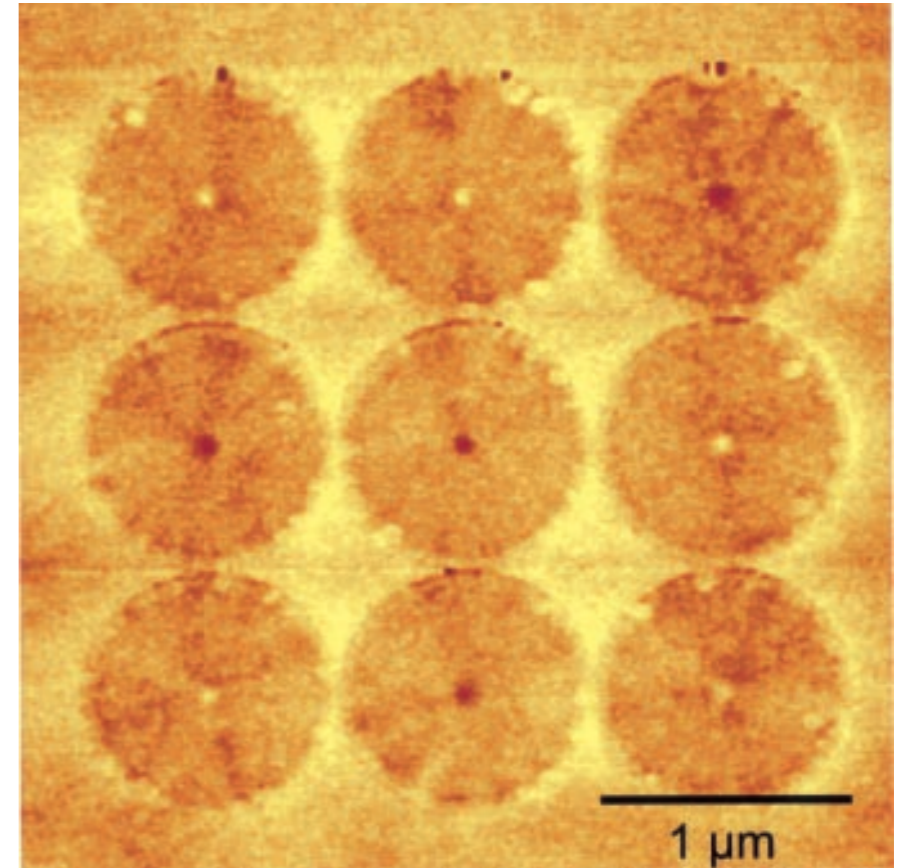


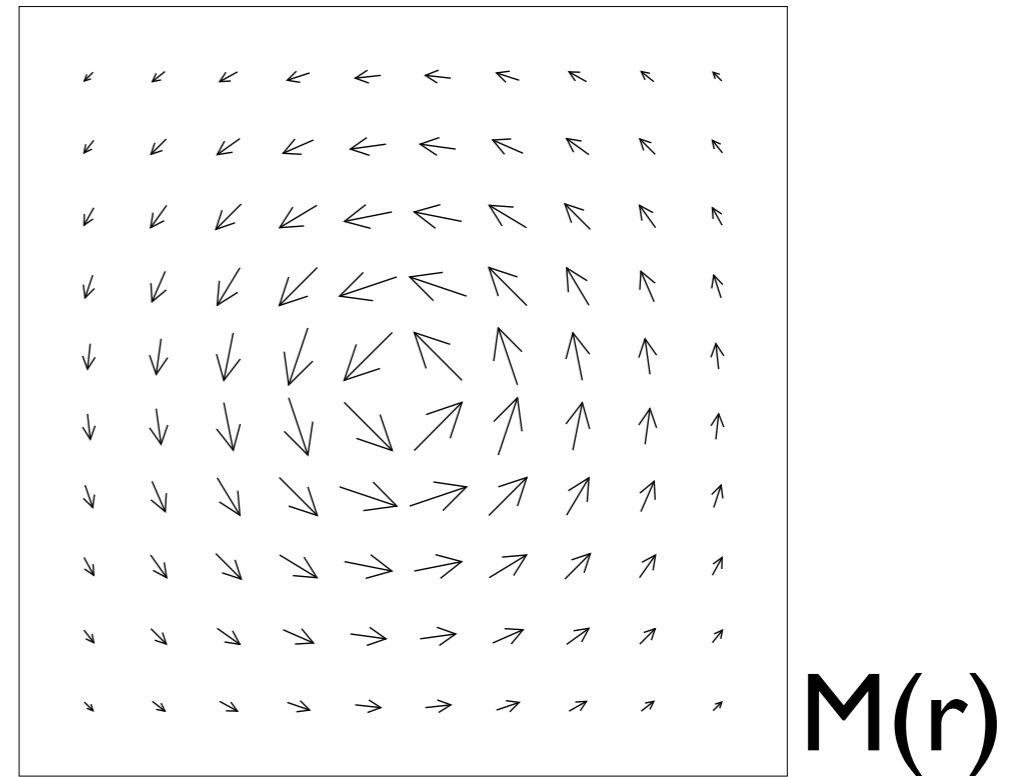
Fig. 2. MFM image of an array of permalloy dots $1 \mu\text{m}$ in diameter and 50 nm thick.

Podemos ver $+/- M_z =$
polarização do núcleo!

Vórtices: Propriedades como partículas

“a carga de vorticidade”

$$q = \frac{1}{2\pi} \oint \vec{\nabla} \phi \cdot d\vec{r} = 0, \pm 1$$



circulação ou *curling*
 $-1 \leq C \leq +1$

$$C = \frac{1}{N} \sum_i \hat{\sigma}_i \cdot \hat{\phi}_i \quad \hat{\sigma}_i = \vec{\mu}_i / \mu.$$

polarização

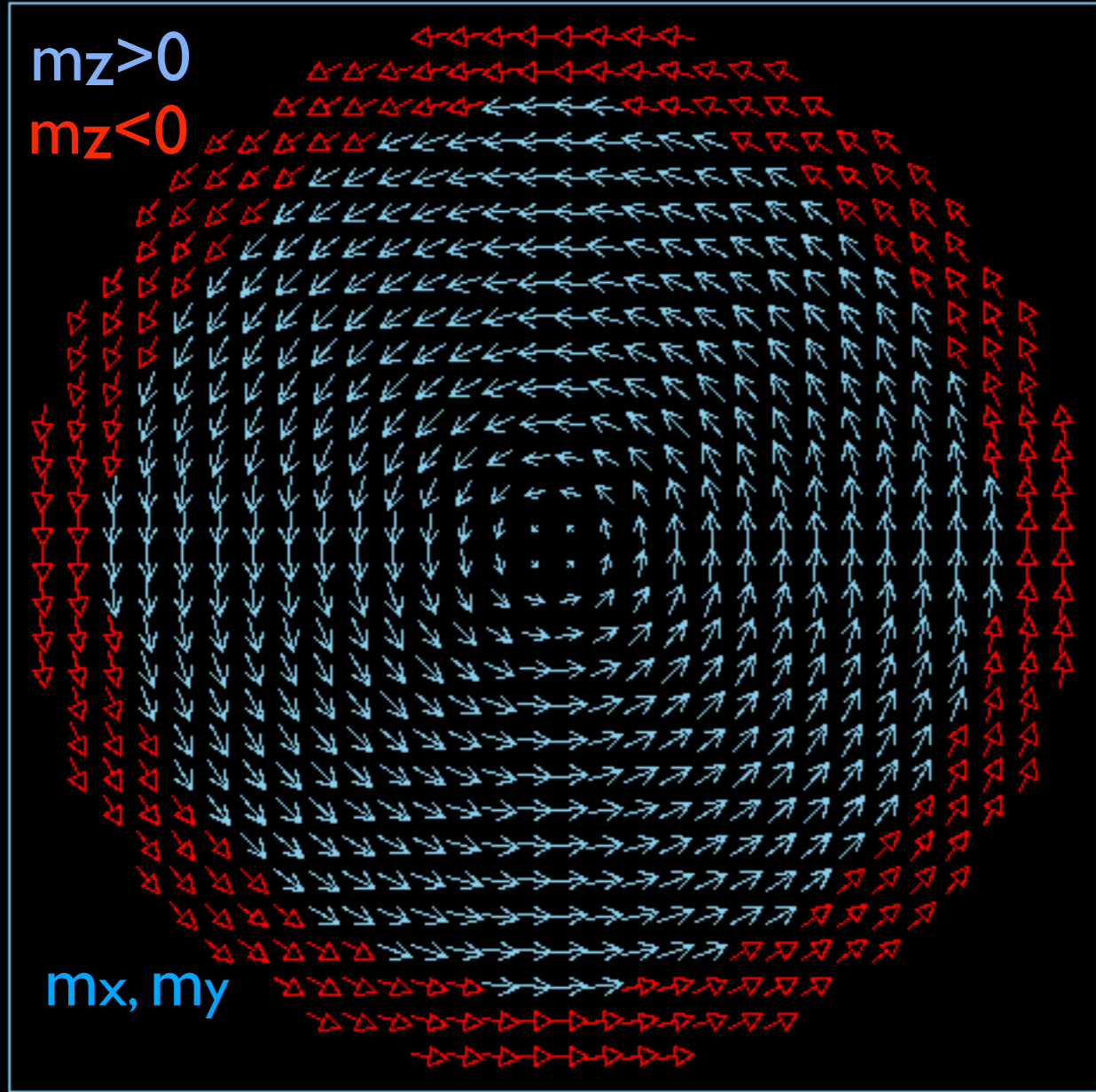
$p = m_z = \pm 1$ no núcleo

“carga topológica = girovetor”

$G = 2\pi pq =$ ângulo sólido mapeado por todos os spins

Vórtice, $q=+1$, $p=+1$ $R=30\text{nm}$, $L=8\text{nm}$

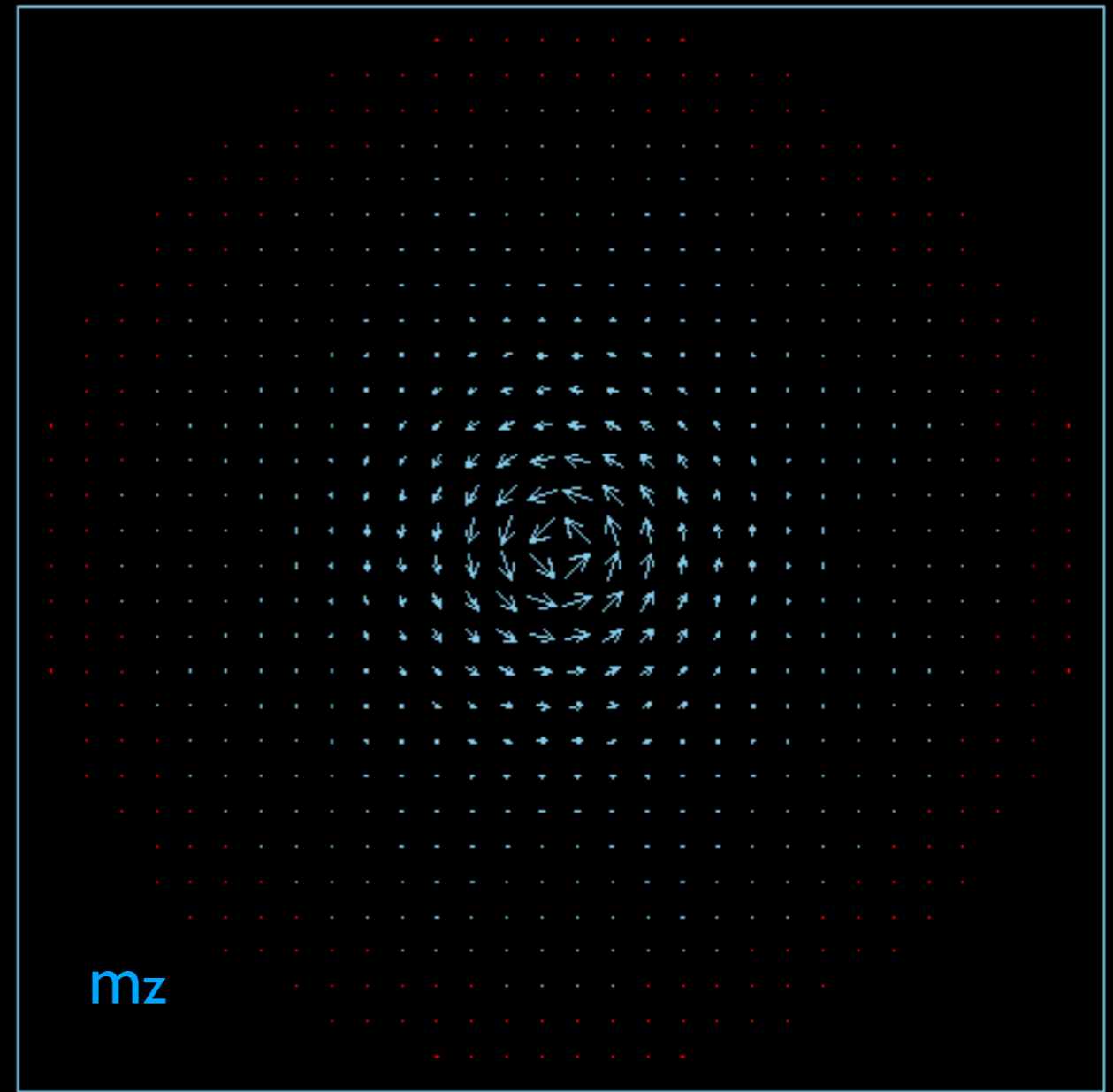
$t= 0,00$ $E=10,37$ $ex= 8,33$ $ddx= 0,75$ $ddz= 1,29$ $eb=-0,00$



Sys 1/1, 716 Spins

State 6/7

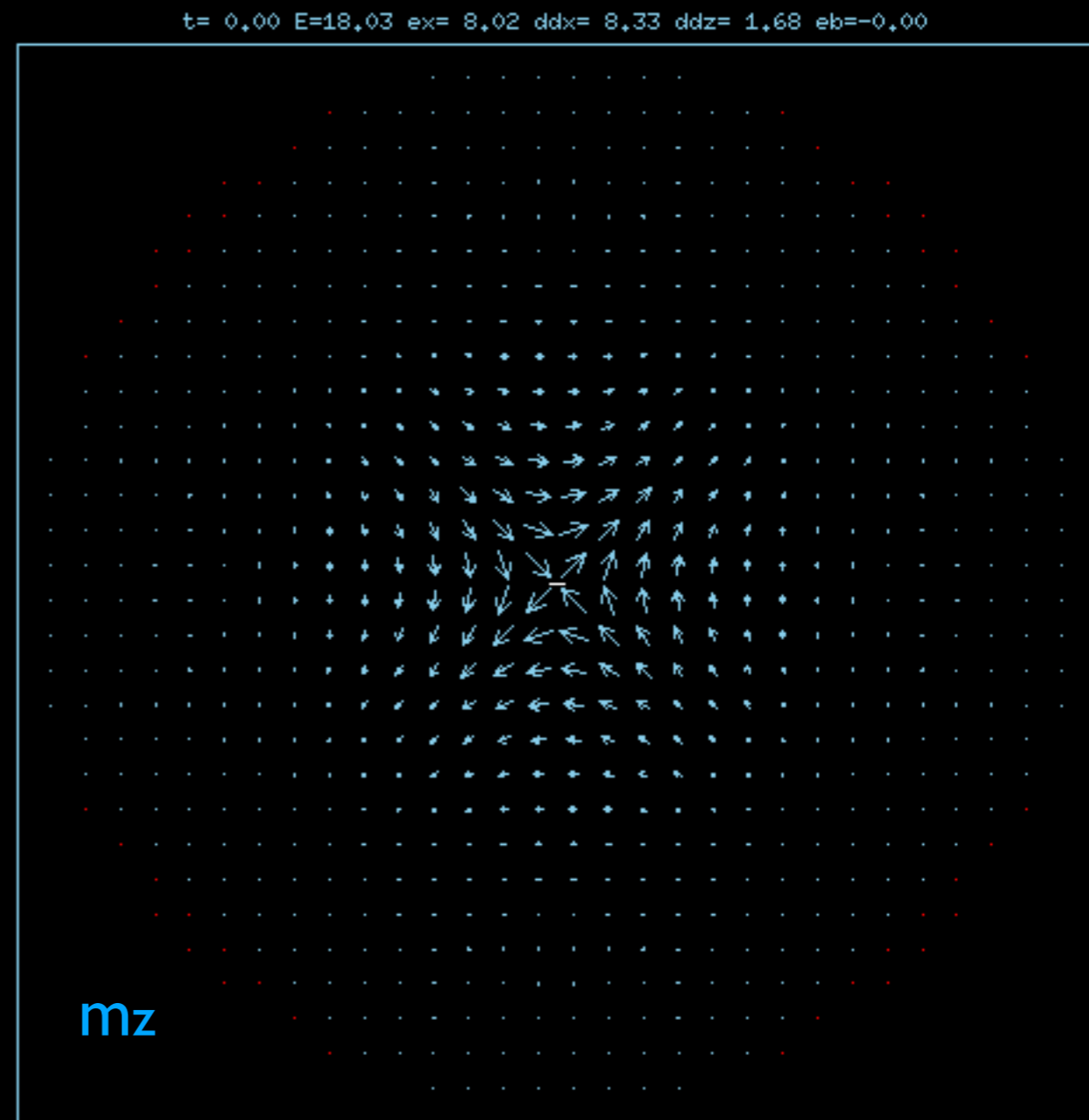
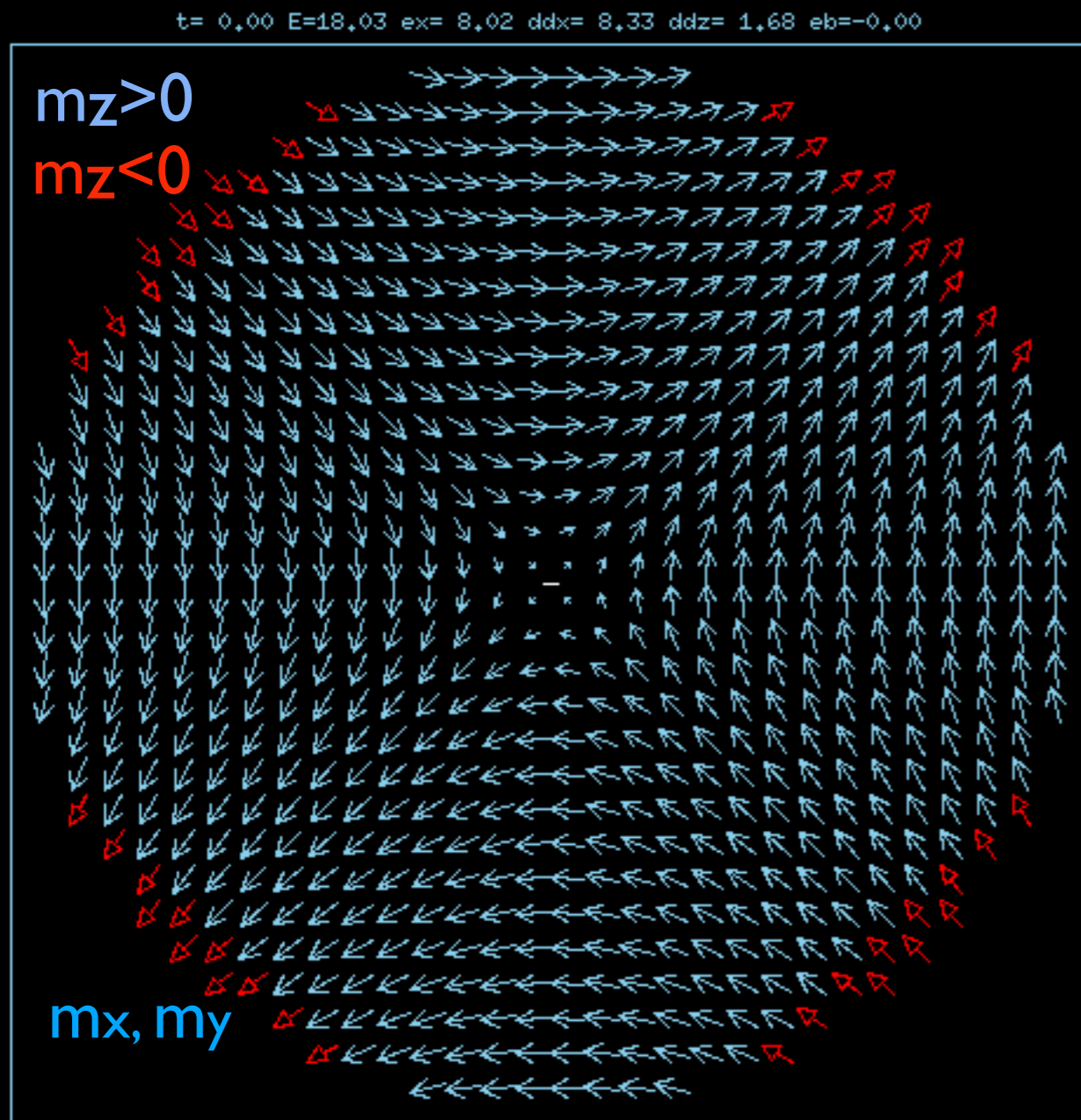
$t= 0,00$ $E=10,37$ $ex= 8,33$ $ddx= 0,75$ $ddz= 1,29$ $eb=-0,00$



Sys 1/1, 716 Spins

State 6/7

Anti-Vórtice, $q=-1$, $p=+1$ $R=30\text{nm}$, $L=8\text{nm}$



Sys 1/1, 716 Spins

$v=1$, $pin=0$, $dbl=0$

State 10/12

Sys 1/1, 716 Spins

$v=1$, $pin=0$, $dbl=0$

State 10/12

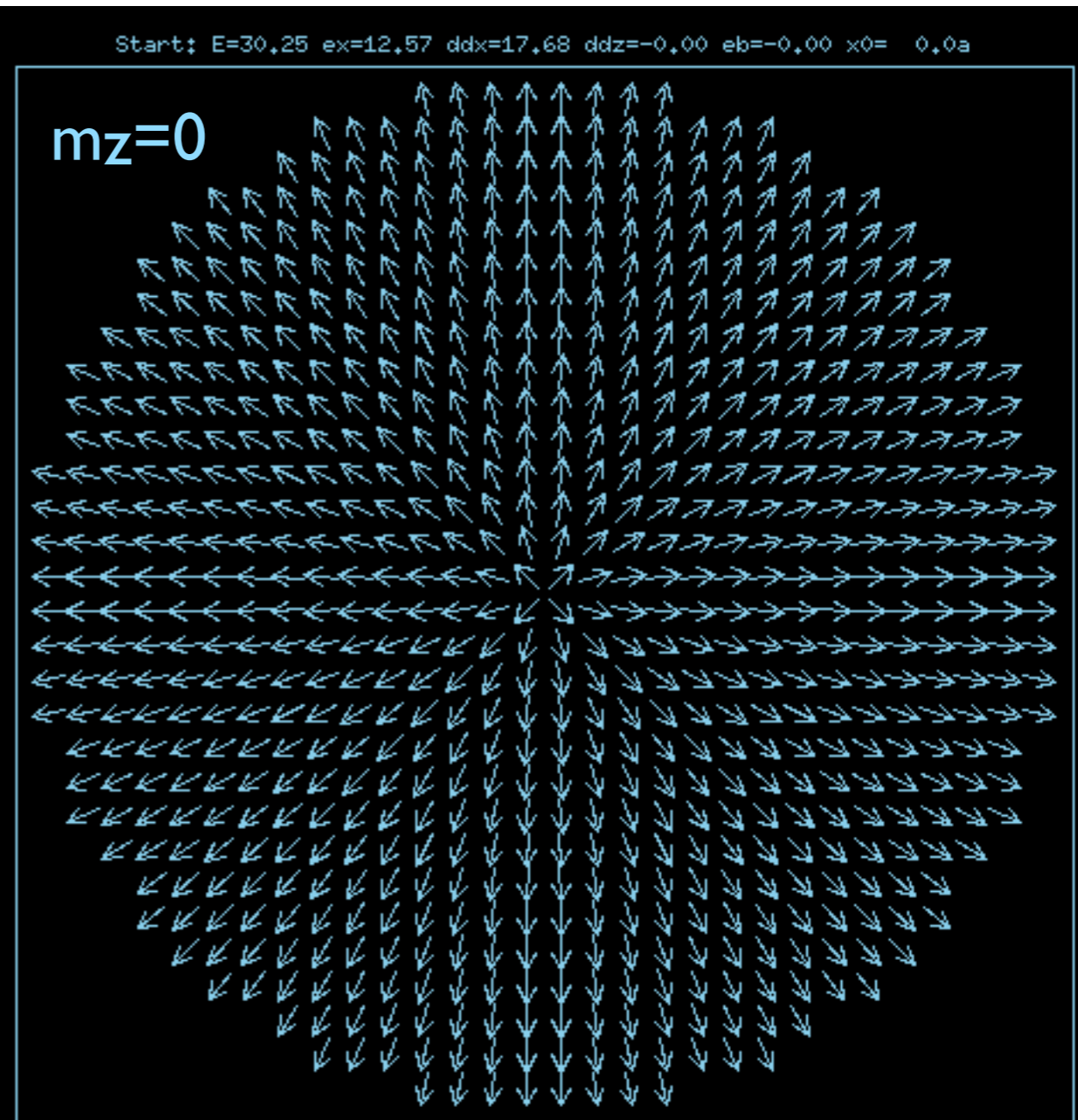
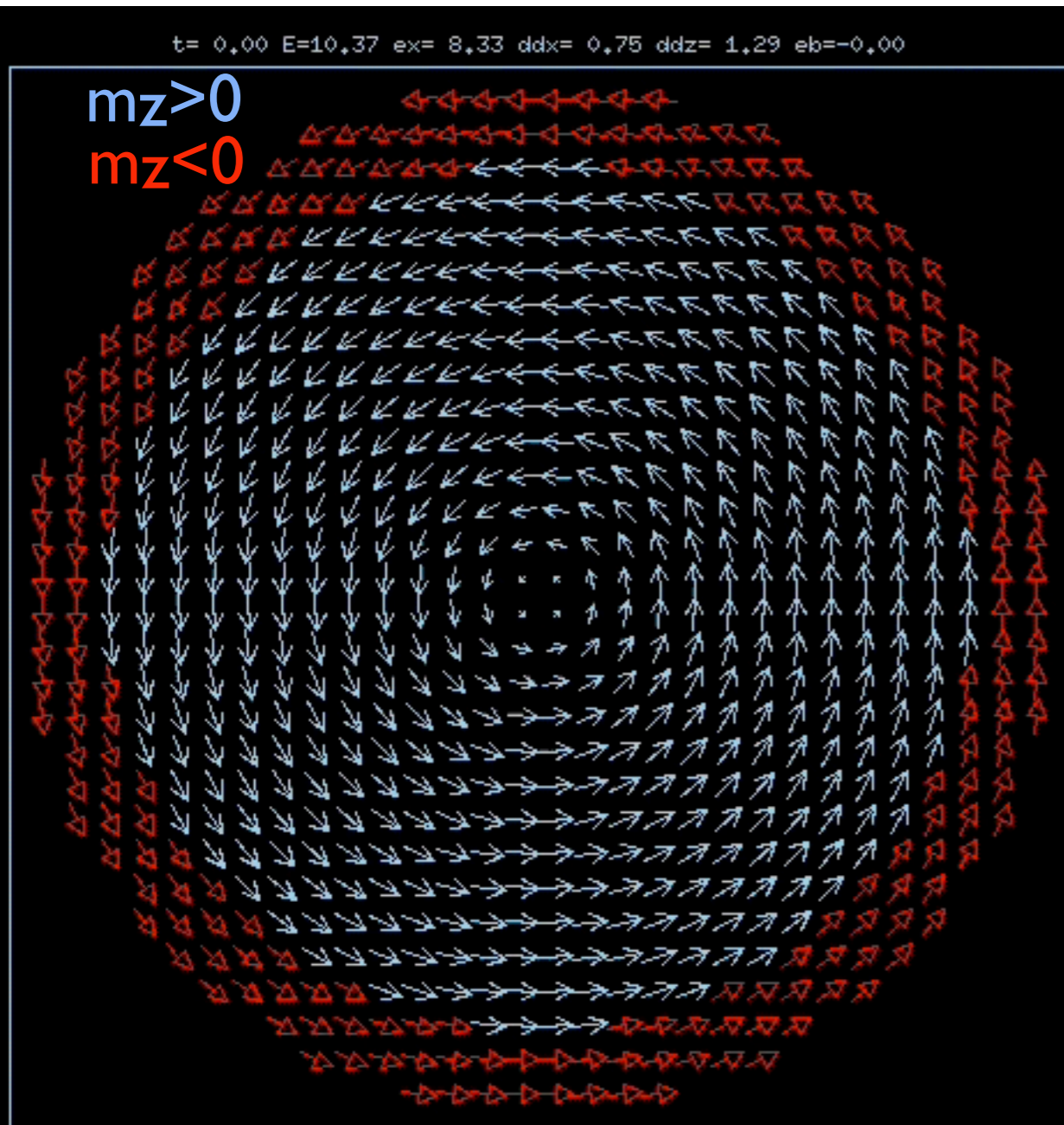
(Não estável)

Bistabilidade usando as cargas?

mudança de $C=+1/-1$

a vorticidade $q=+1$ não muda.
a energia $E=10.37$ não muda.

estado (não-estável) de
um vórtice planar: $E=30.25$

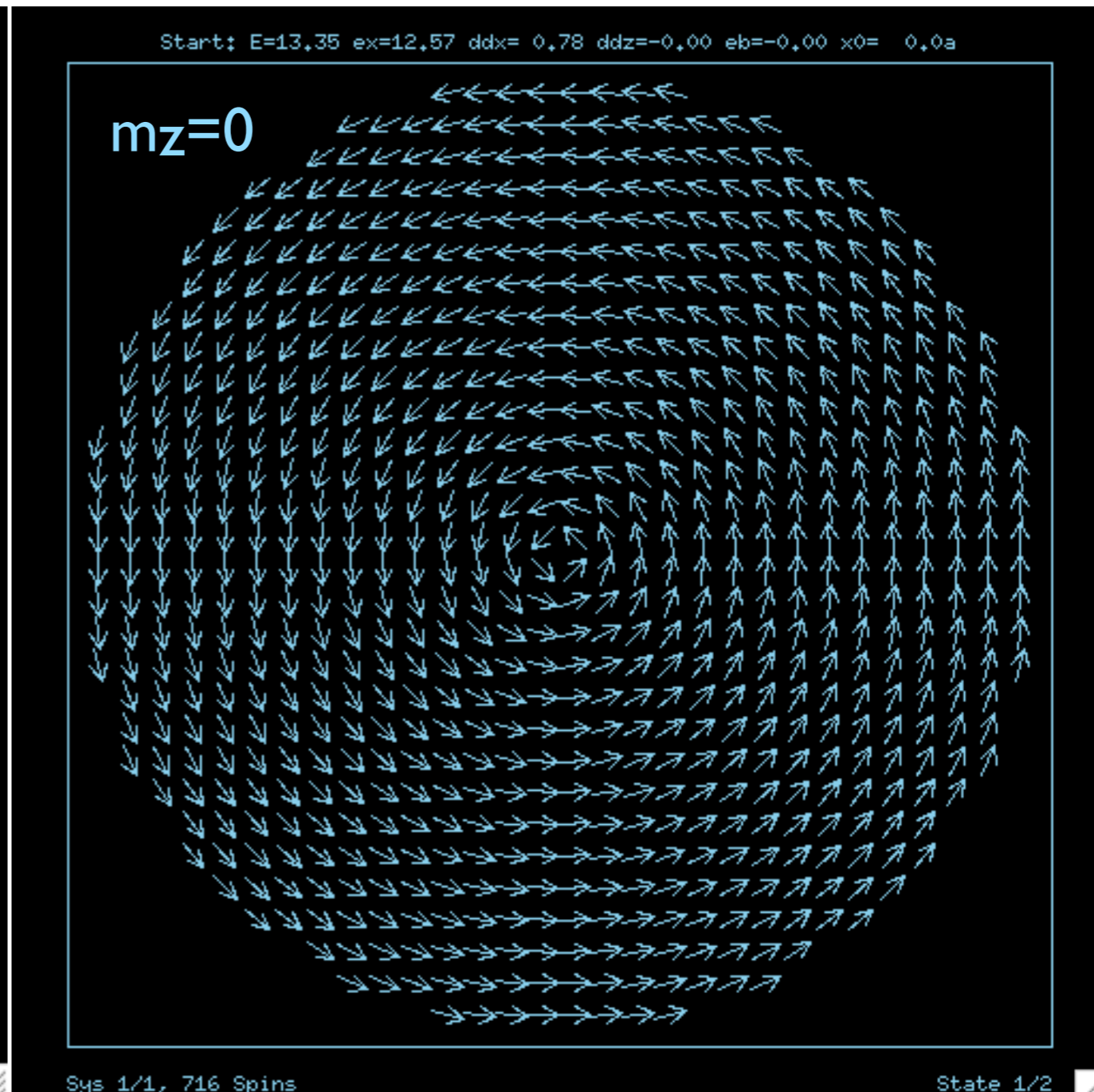
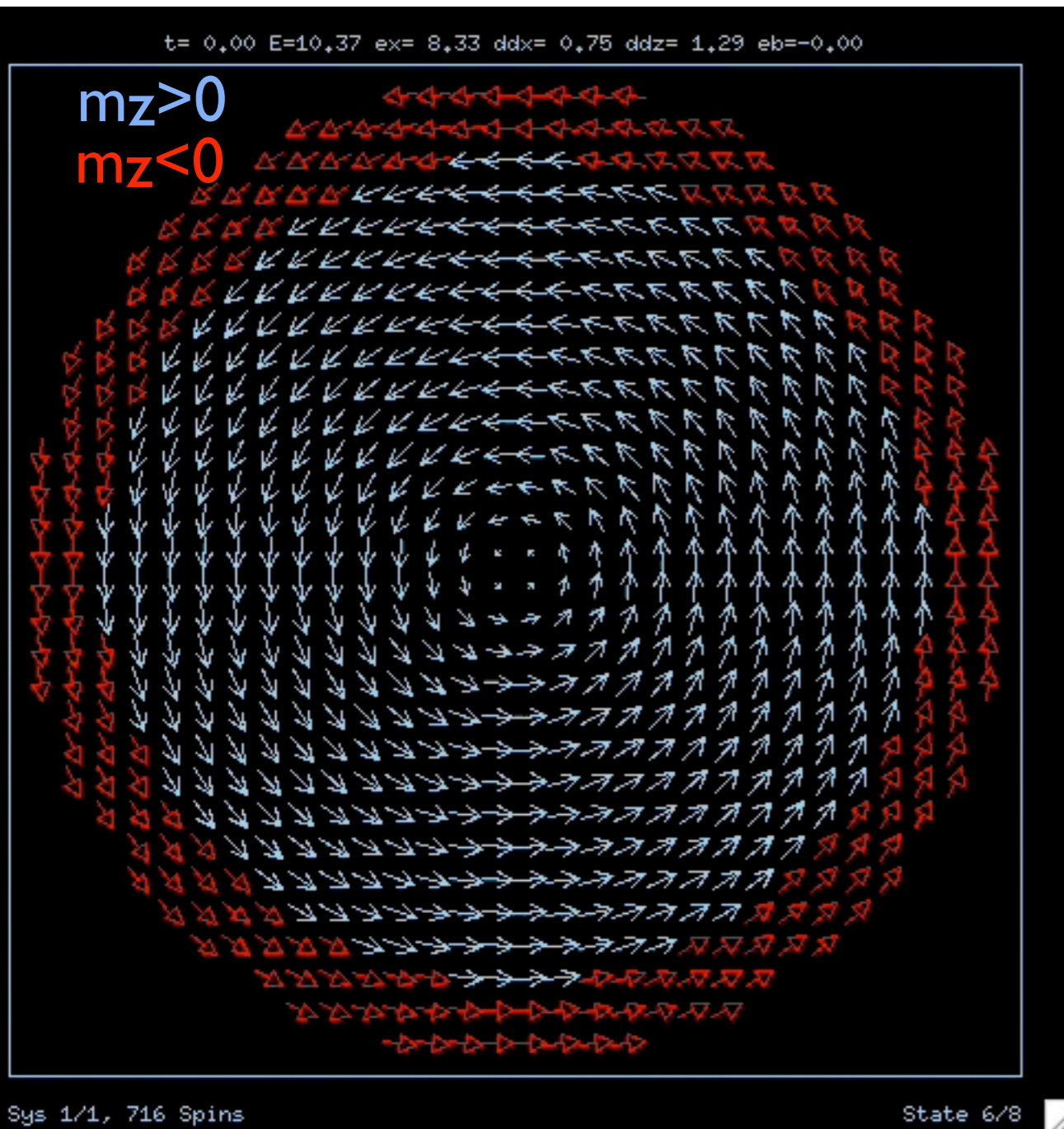


Bistabilidade usando as cargas?

mudança de $p=+1/-1$

a vorticidade $q=+1$ não muda.
a energia $E=10.37$ não muda.

estado (não-estável) de um
vórtice planar: $E=13.35$

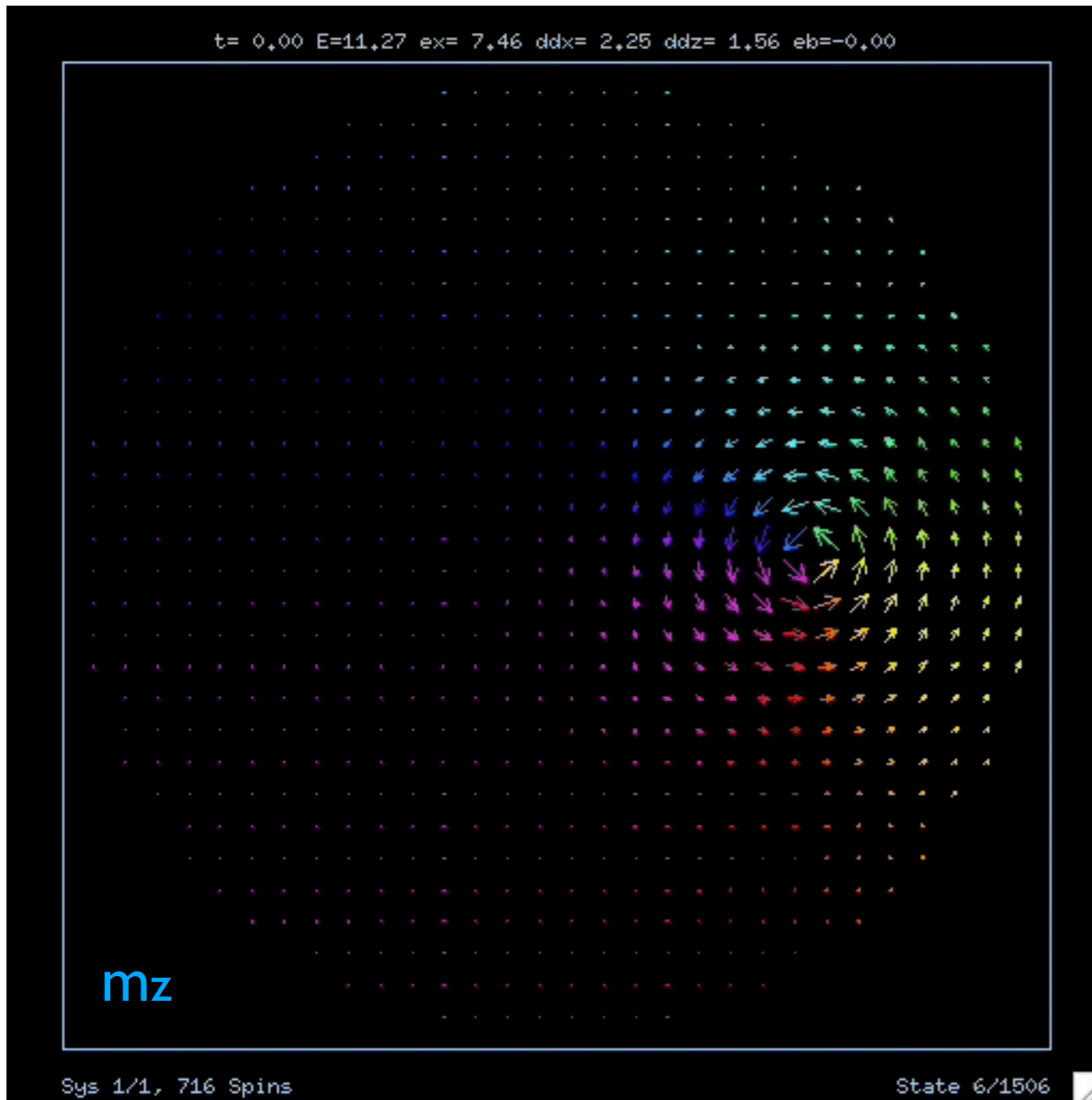


O movimento girotrópico

$R=30$ nm,
 $L=10$ nm,
células $a=2.0$ nm

Vórtice,
 $q=+1$, $p=+1$

As setas
têm tamanho
proporcional a M_z ,
fora do plano.



Teoria microscópica. Modelo de dipolos atômicos.

Hamiltoniano:

$$H = H_{\text{ex}} + H_{\text{dd}} + H_{\text{B}}$$



troca:

$$H_{\text{ex}} = -J \sum_{(i,j)} \vec{S}_i \cdot \vec{S}_j$$

$$\mu_{\text{atom}} = g\mu_B S_i$$

dipolar:

$$H_{\text{dd}} = - \left(\frac{\mu_0}{4\pi} \right) \sum_{i>j} \frac{[3(\vec{\mu}_i \cdot \hat{r}_{ij})(\vec{\mu}_j \cdot \hat{r}_{ij}) - \vec{\mu}_i \cdot \vec{\mu}_j]}{r_{ij}^3},$$

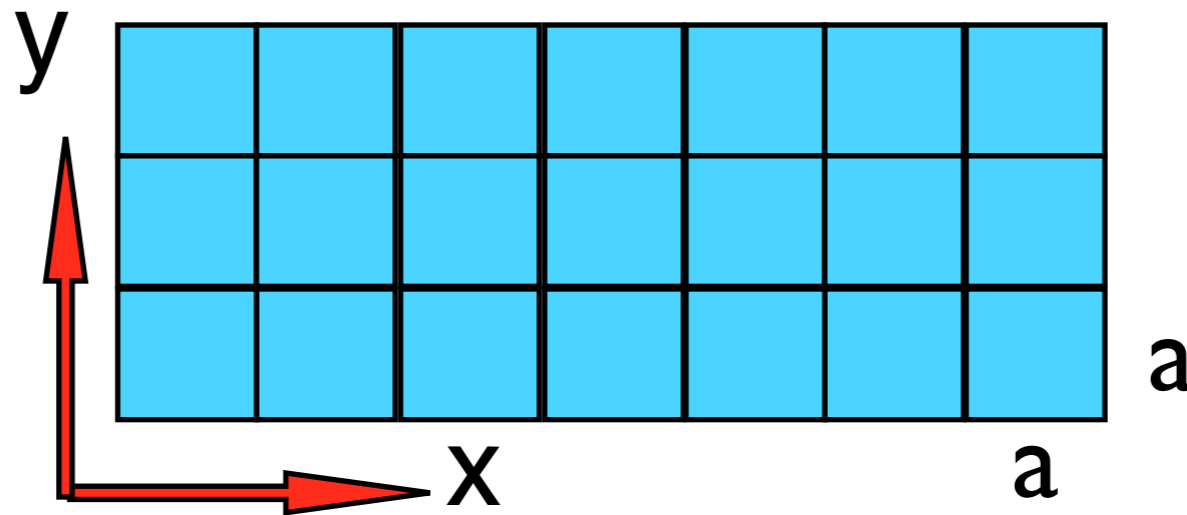
campo
externo:

$$H_{\text{B}} = - \sum_i \vec{B} \cdot \vec{\mu}_i$$

Problema: Átomos demais para calcular um nanodisco típico.

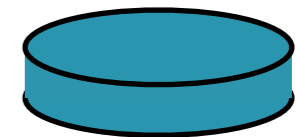
Micromagnetismo.

Uma técnica para estudar um sistema contínuo.



Cada célula tem um dipolo:

$$\hat{m} = \vec{M} / M_S.$$



- ▶ Modelo para um nanoponto cilíndrico, raio R , altura L .
- ▶ Divide-se a amostra em células de tamanho $a \times a \times L$.
- ▶ Assume-se que a magnetização é saturada (M_S) dentro de cada célula: $|\hat{m}|=1$. Só as direções variam entre células.
- ▶ As células interagem como dipolos, com energia de troca entre vizinhos & com o campo de desmagnetização.

Hamiltoniano:

$$H = H_{\text{ex}} + H_{\text{demag}} + H_B$$



troca: $\mathcal{H}_{\text{ex}} = A \int dV \nabla \hat{m} \cdot \nabla \hat{m},$

desmagnetização: $\mathcal{H}_{\text{dd}} = \mathcal{H}_{\text{demag}} = -\frac{1}{2} \mu_0 \int dV \vec{H}_M \cdot \vec{M}$

campo externo: $\mathcal{H}_B = -\mu_0 \int dV \vec{H}_{\text{ext}} \cdot \vec{M}$

Estática: minimizamos a energia \Rightarrow configurações estáveis.

Dinâmica: equação de movimento \Rightarrow configs. periódicas.

Dificuldades: (i) Cálculo do campo de desmagnetização H_M

(ii) Exige uma posição determinada, X , do vórtice $\Rightarrow E(X)$.

A escala de energia é baseada na energia de troca

$$J_{\text{cell}} = \frac{2Av_{\text{cell}}}{a^2} = 2AL.$$

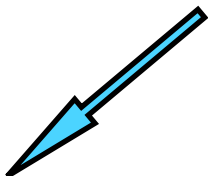
“comprimento de troca”

$$\lambda_{\text{ex}} = \sqrt{\frac{2A}{\mu_0 M_S^2}}$$

Hamiltoniano micromagnético:

campo desmag. :

$$\vec{H}_M = M_S \tilde{H}_M$$

$$\mathcal{H}_{\text{mm}} = -J_{\text{cell}} \left\{ \sum_{(i,j)} \hat{m}_i \cdot \hat{m}_j + \left(\frac{a}{\lambda_{\text{ex}}} \right)^2 \sum_i \left(\tilde{H}_{\text{ext}} + \frac{1}{2} \tilde{H}_M \right) \cdot \hat{m}_i \right\}$$


$\left(\frac{a}{\lambda_{\text{ex}}} \right)^2$ deve ser menor que 1 para soluções confiáveis.
(células menores do que o comprimento da troca)

(i) Campo de desmagnetização $H_M \Leftarrow$ função de **Green+FFT**.

➔ Magneto-estática sem correntes livres:

$$-\tilde{\nabla}^2 \tilde{\Phi} = \tilde{\rho} \quad \tilde{\rho} \equiv -\tilde{\nabla} \cdot \hat{m} \quad \tilde{H}_M = -\tilde{\nabla} \tilde{\Phi}$$

➔ Resolvemos utilizando a função de Green:

$$\tilde{\Phi}(\vec{r}) = \int d^3 r' G(\vec{r}, \vec{r}') \tilde{\rho}(\vec{r}') \quad G(\vec{r}, \vec{r}') = \frac{1}{4\pi |\vec{r} - \vec{r}'|}$$

caso de **um cilindro com $L \ll R$** -- geometria de 2D: $\tilde{r} \equiv (x, y)$

$$\tilde{H}_z(\tilde{r}) = \int d^2 \tilde{r}' G_z(\tilde{r} - \tilde{r}') m_z(\tilde{r}')$$

$$\tilde{H}_{xy}(\tilde{r}) = \int d^2 \tilde{r}' \vec{G}_{xy}(\tilde{r} - \tilde{r}') \tilde{\rho}(\tilde{r}')$$

$$G_z(\tilde{r}) = \frac{1}{2\pi L} \left[\frac{1}{\sqrt{\tilde{r}^2 + L^2}} - \frac{1}{|\tilde{r}|} \right]$$

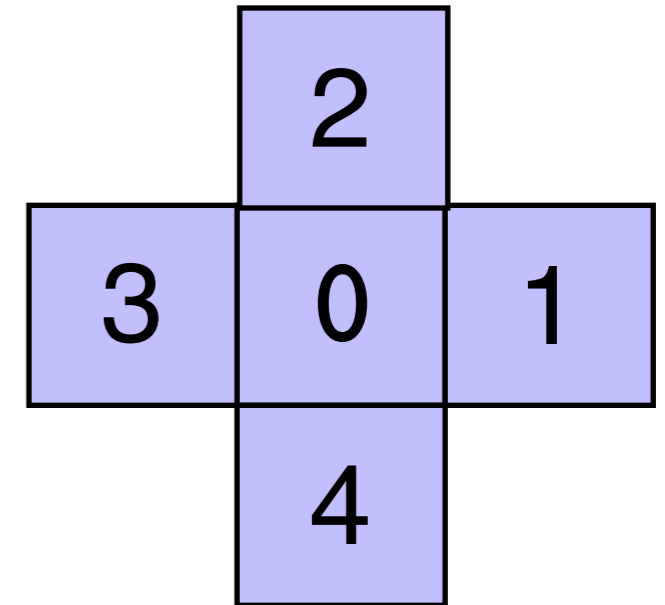
$$\vec{G}_{xy}(\tilde{r}) = \frac{1}{2\pi L} \left[\sqrt{1 + \left(\frac{L}{\tilde{r}}\right)^2} - 1 \right] \hat{e}_{\tilde{r}}$$

Alguns detalhes:

A densidade de cargas magnéticas depende da configuração atual, como:

$$\tilde{\rho}_0^{\text{vol}} = \frac{q_M^{\text{vol}}}{La^2} = -\frac{1}{2a} [m_1^x - m_3^x + m_2^y - m_4^y]$$

$$\tilde{\rho}_0^{\text{sur}} = \frac{q_M^{\text{sur}}}{La^2} = \sum_{\text{cell edges}} \frac{1}{2a} \hat{m}_0 \cdot \hat{n}_{\text{edge}}$$

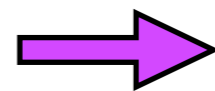


Integrais são avaliadas no espaço recíproco e utilizando a transformada rápida de Fourier (FFT) em 2D.

A rede para **Green+FFT** é 2X maior do que o sistema original, para evitar cópias periódicas.

Enfim, o campo de desmagnetização calculado será o campo de um único disco isolado.

(ii) Como minimizar a energia exigindo um local desejado para o vórtice?



Técnica dos multiplicadores de Lagrange

Funcional da energia:

$$\Lambda[\vec{m}_i] = E[\vec{m}_i] + \sum_i \alpha_i (\vec{m}_i^2 - m^2) - \vec{\lambda} \cdot \sum_n \vec{m}_n$$

↑ hamiltoniano
↑ comprimento desejado
↑ local desejado

exige-se que esta soma seja igual a zero

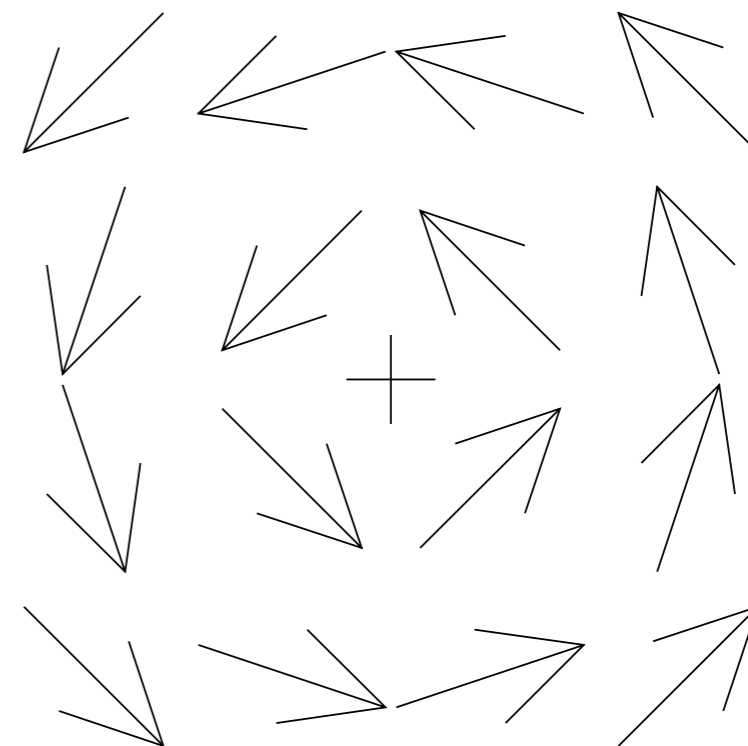
$$\frac{\partial \Lambda}{\partial m_n^x} = \frac{\partial E}{\partial m_n^x} + 2\alpha_n m_n^x - \lambda_x = 0$$

$$-F_n^x + 2\alpha_n m_n^x - \lambda_x = 0$$

no núcleo:

$$m_n^x = \frac{1}{2\alpha_n} (F_n^x + \lambda_x)$$

Consegue-se os parametros indeterminados α e λ utilizando as restrições.



o núcleo

Iterações ...

$$\vec{m}_n^2 = \frac{1}{4\alpha_n^2} \left[(F_n^x + \lambda_x)^2 + (F_n^y + \lambda_y)^2 + (F_n^z)^2 \right] = m^2$$

A.
$$\frac{1}{\alpha_n} = \frac{2m}{\sqrt{(F_n^x + \lambda_x)^2 + (F_n^y + \lambda_y)^2 + (F_n^z)^2}}$$
 (comprimentos desejados)

B.
$$\sum_{\text{core}} m_n^x = \sum_{\text{core}} \frac{1}{2\alpha_n} (F_n^x + \lambda_x) = 0 \quad \longrightarrow \quad \lambda_x = -\frac{\sum_{\text{core}} F_n^x / \alpha_n}{\sum_{\text{core}} 1 / \alpha_n}$$
 (local do vórtice desejado)

Repete-se, apontando cada dipolo paralelo ao campo efetivo:

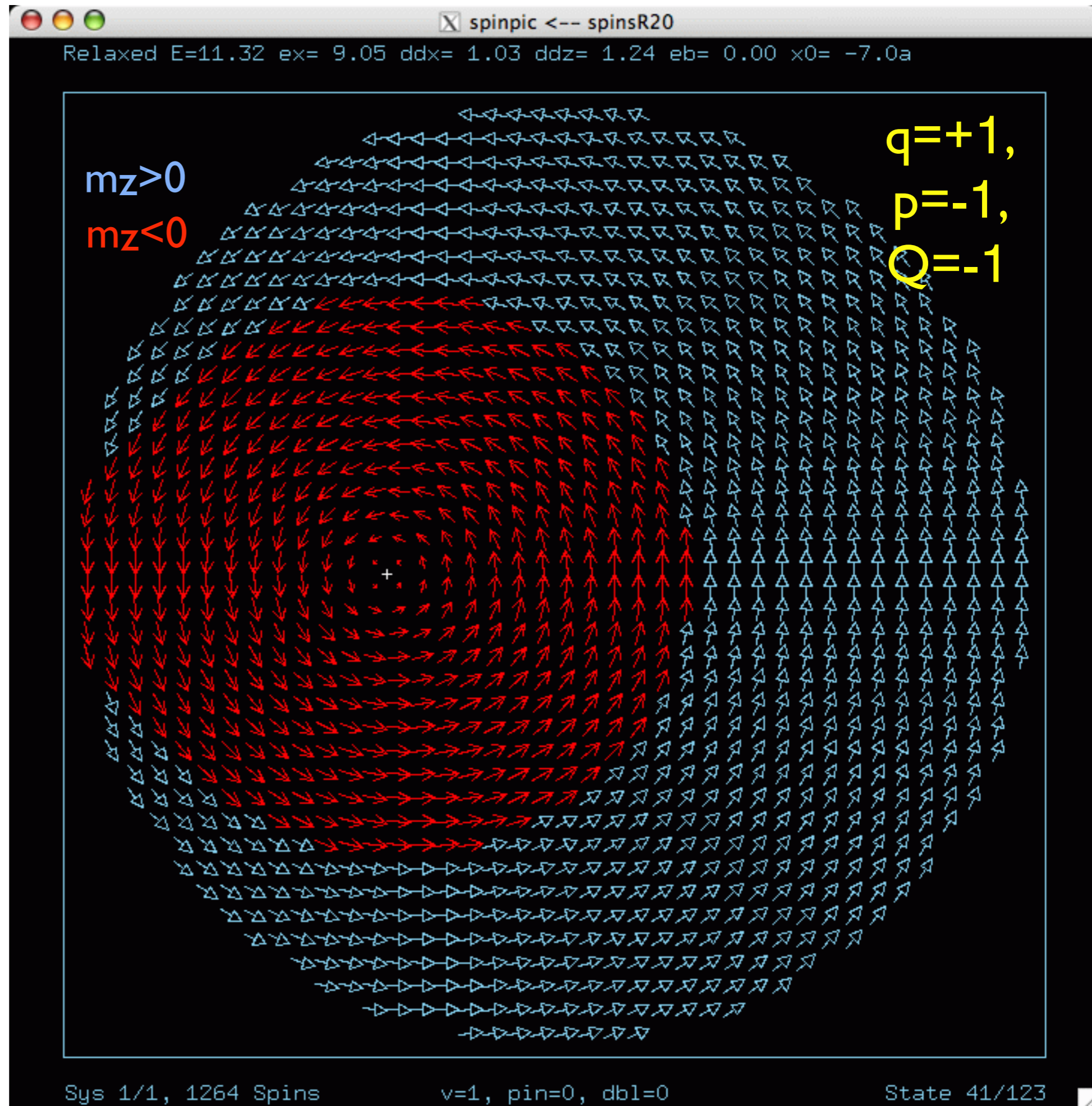
C.
$$\vec{m}_n = m \frac{(F_n^x + \lambda_x)\hat{x} + (F_n^y + \lambda_y)\hat{y} + F_n^z\hat{z}}{\sqrt{(F_n^x + \lambda_x)^2 + (F_n^y + \lambda_y)^2 + (F_n^z)^2}}$$

(sem usar as equações da dinâmica de Landau-Lifshitz)

Exemplo.
Configuração
típica de um
vórtice.

$a=2.0$ nm,
 $\lambda_{\text{ex}}=5.3$ nm,
 $L=12$ nm,
 $R=40$ nm,

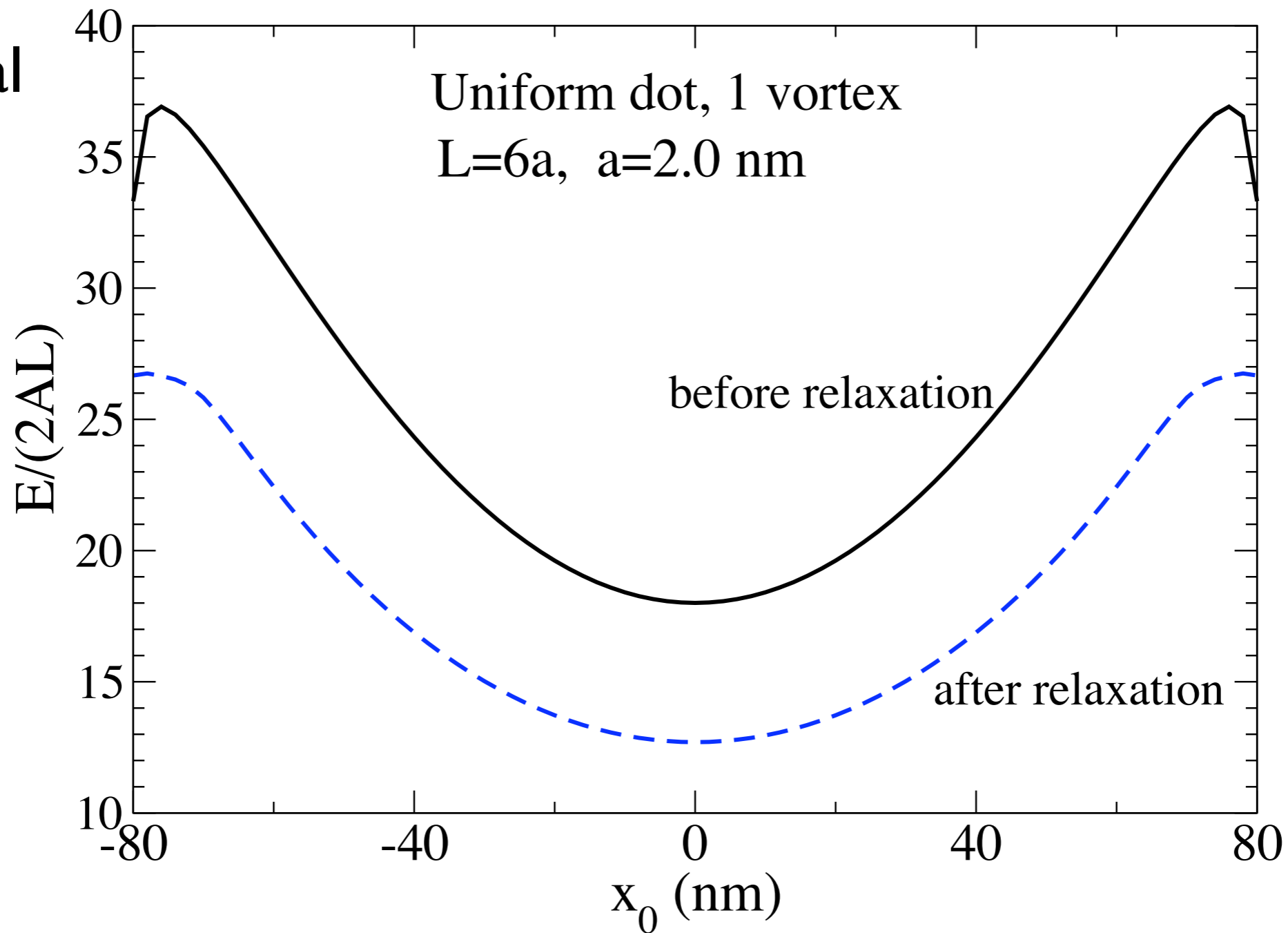
$$x_0 = -7a$$



Exemplo. Energia total do vórtice, $E(x_0) \approx \frac{1}{2}k_F x_0^2$

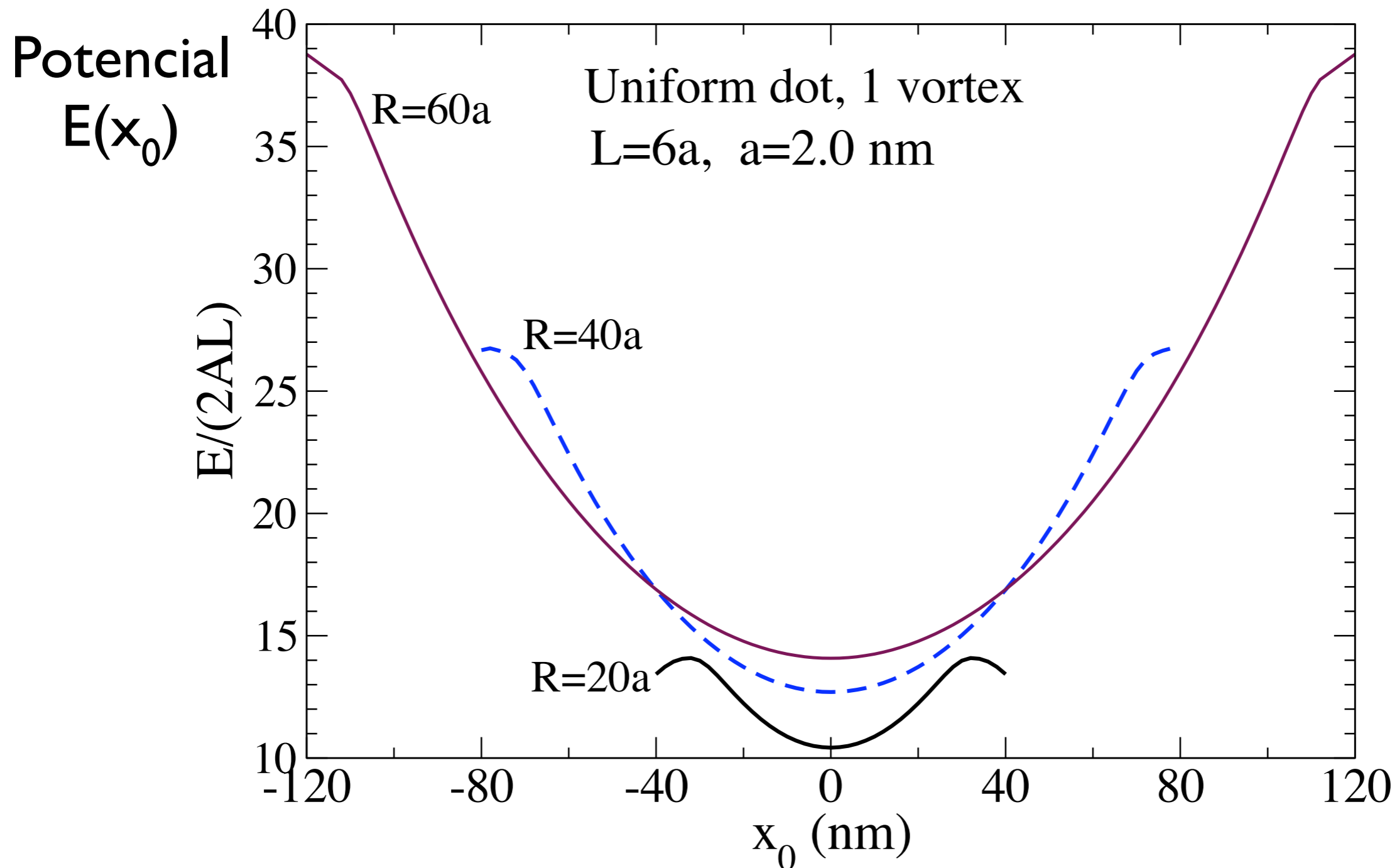
$a=2.0$ nm, $\lambda_{ex}=5.3$ nm, $L=12$ nm, $R=80$ nm

Potencial
 $E(x_0)$



Exemplo. Energia total do vórtice, $E(x_0) \approx \frac{1}{2}k_F x_0^2$

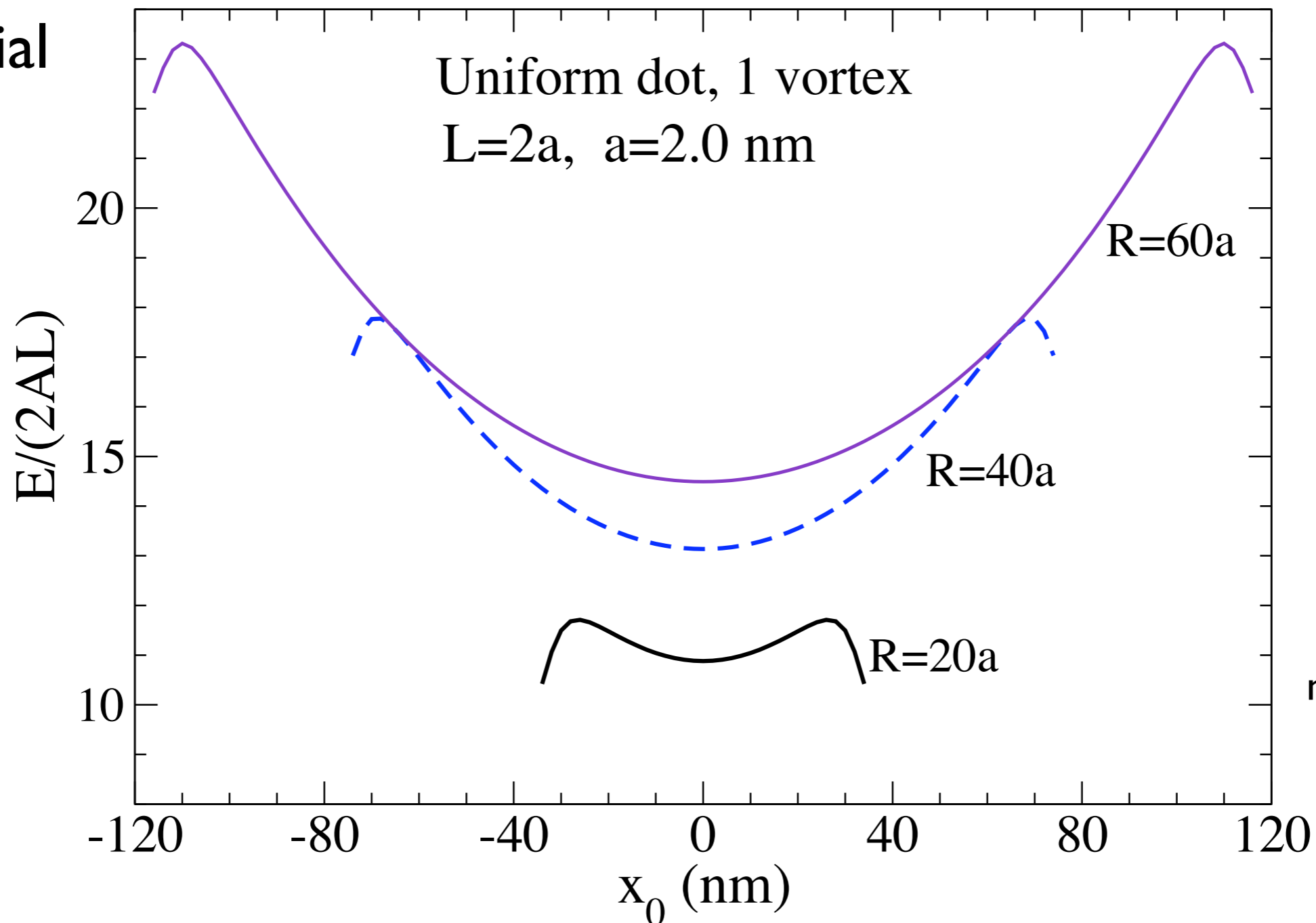
$a=2.0$ nm, $\lambda_{ex}=5.3$ nm, $L=12$ nm, $R=40, 80, 120$ nm



Exemplo. Energia total do vórtice, $E(x_0) \approx \frac{1}{2}k_F x_0^2$

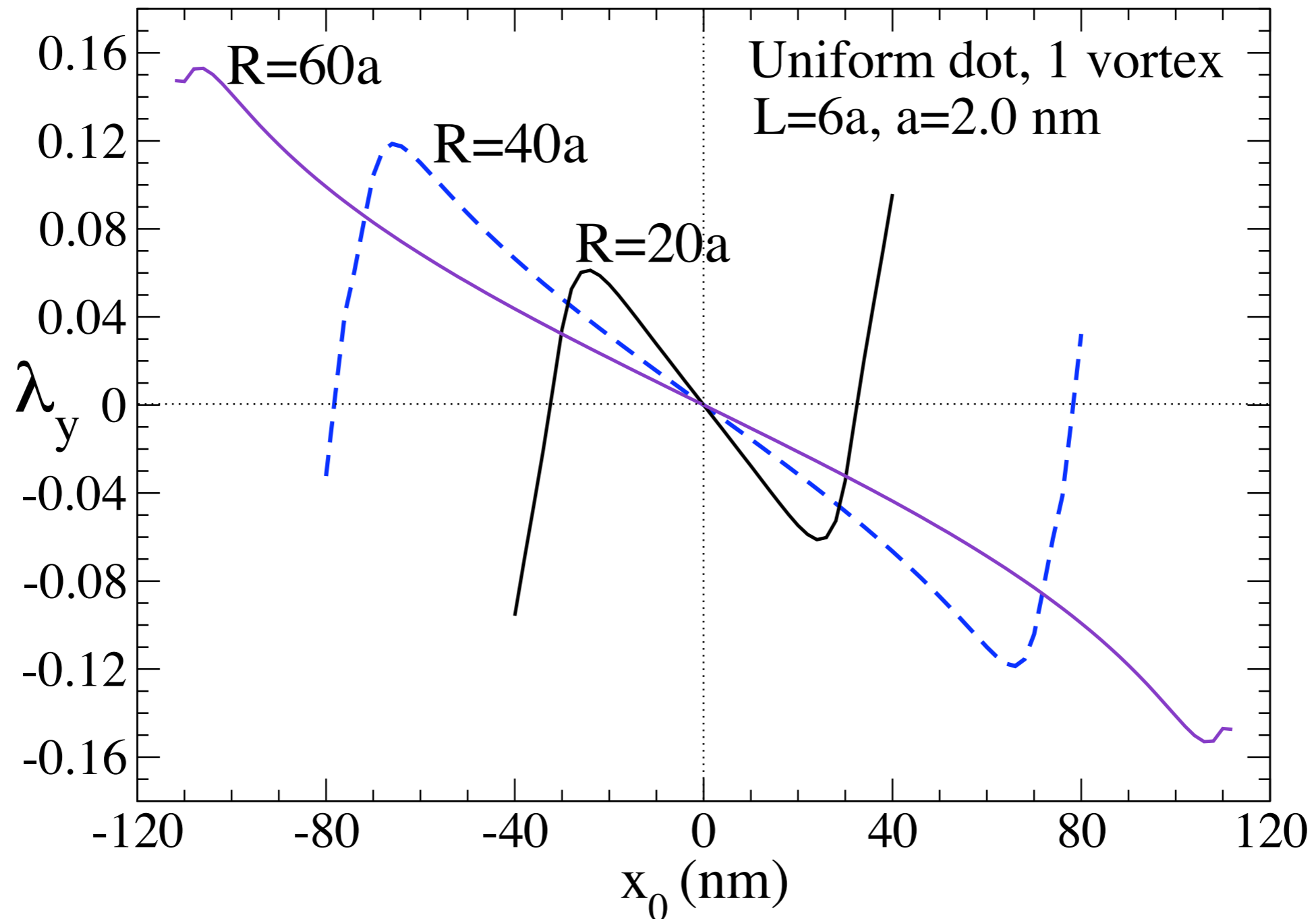
$a=2.0$ nm, $\lambda_{ex}=5.3$ nm, $L=4.0$ nm, $R=40, 80, 120$ nm

Potencial
 $E(x_0)$



Exemplo. Vórtice, campo de restrição $\lambda=(0,\lambda_y)$

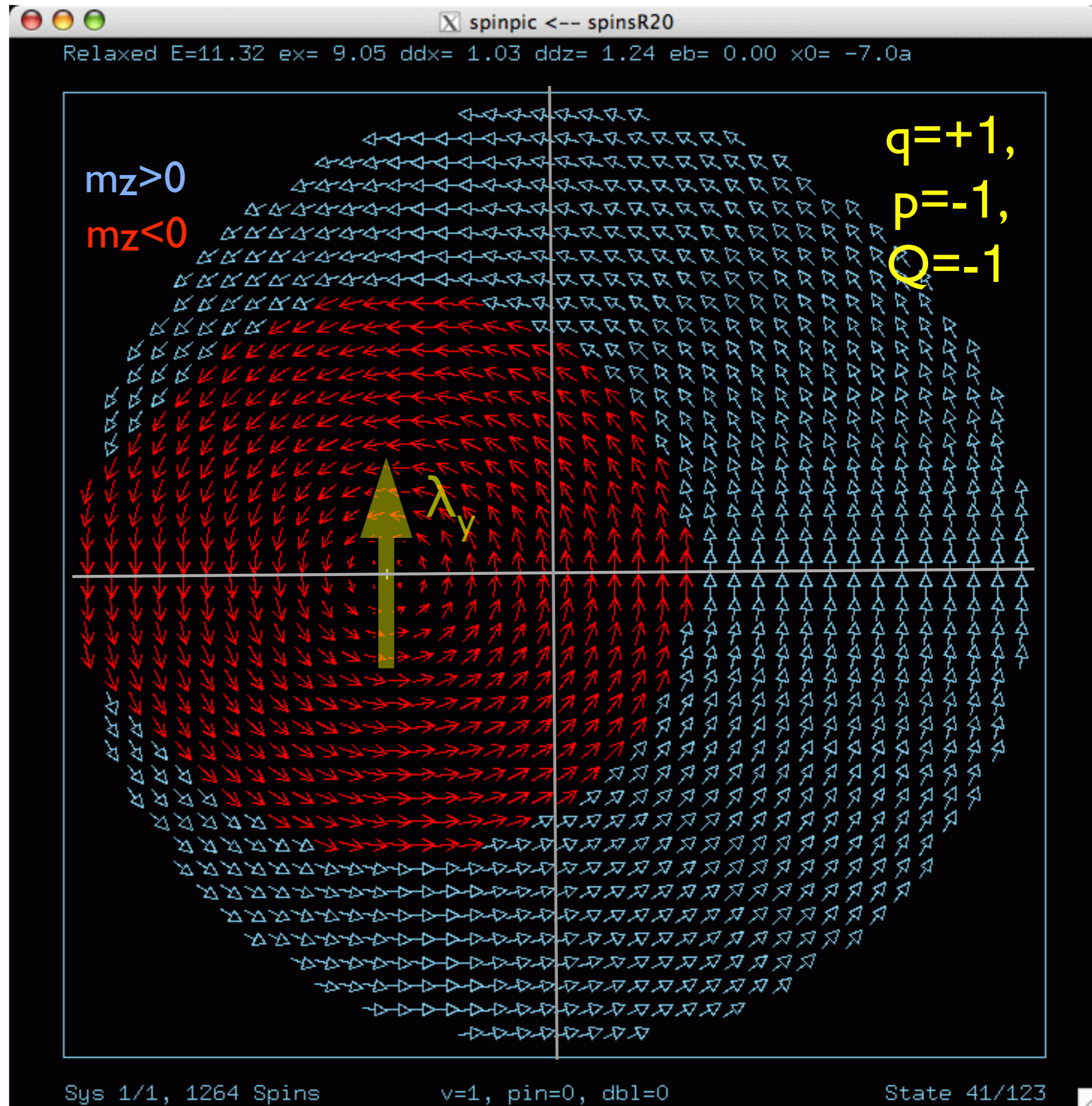
$a=2.0$ nm, $\lambda_{ex}=5.3$ nm, $L=12$ nm, $R=40, 80, 120$ nm



Exemplo.
Configuração
típica de um
vórtice.

$a=2.0$ nm,
 $\lambda_{\text{ex}}=5.3$ nm,
 $L=12$ nm,
 $R=40$ nm,

$$x_0 = -7a$$



Potencial dos vórtices $E(X)$

Adaptando as equações do micromagnetismo (2D), o campo de desmagnetização é elaborado via **FFT** junto com uma **função de Green** para um disco quase-2D.

Um campo magnético de restrição (λ_x, λ_y) no núcleo do vórtice foi utilizado na técnica dos **parâmetros indeterminados de Lagrange**, para segurar o vórtice num lugar desejado.

É possível achar o **potencial efetivo** $E(X)$ do vórtice dentro do ponto, que pode ser útil no estudo da dinâmica dos vórtices.

A seguir, veremos o que isso tem a ver com a dinâmica $\Rightarrow \Rightarrow \Rightarrow$

Sobre Dinâmica:

uma célula
contém dipolo = $\vec{\mu}_i = La^2 M_s \hat{m}_i$

$$\frac{d\vec{\mu}_i}{dt} = \gamma \vec{\mu}_i \times \vec{B}_i.$$

$$\vec{B}_i = -\frac{\delta \mathcal{H}}{\delta \vec{\mu}_i} = \frac{J_{\text{cell}}}{La^2 M_s} \vec{b}_i$$

$$\frac{d\hat{m}_i}{d\tau} = \hat{m}_i \times \vec{b}_i, \quad \tau = \gamma B_0 t.$$

$$\vec{b}_i \equiv \sum_{\text{nbrs}} \hat{m}_j + \frac{a^2}{\lambda_{\text{ex}}^2} \left(\tilde{H}^{\text{ext}} + \tilde{H}^M \right)$$

$$B_0 \equiv \frac{2A}{a^2 M_s}$$

$$t_0 = (\gamma B_0)^{-1} \approx 1.5 \text{ ps para Permalloy}$$

Isso define a dinâmica na temperatura $T=0$.

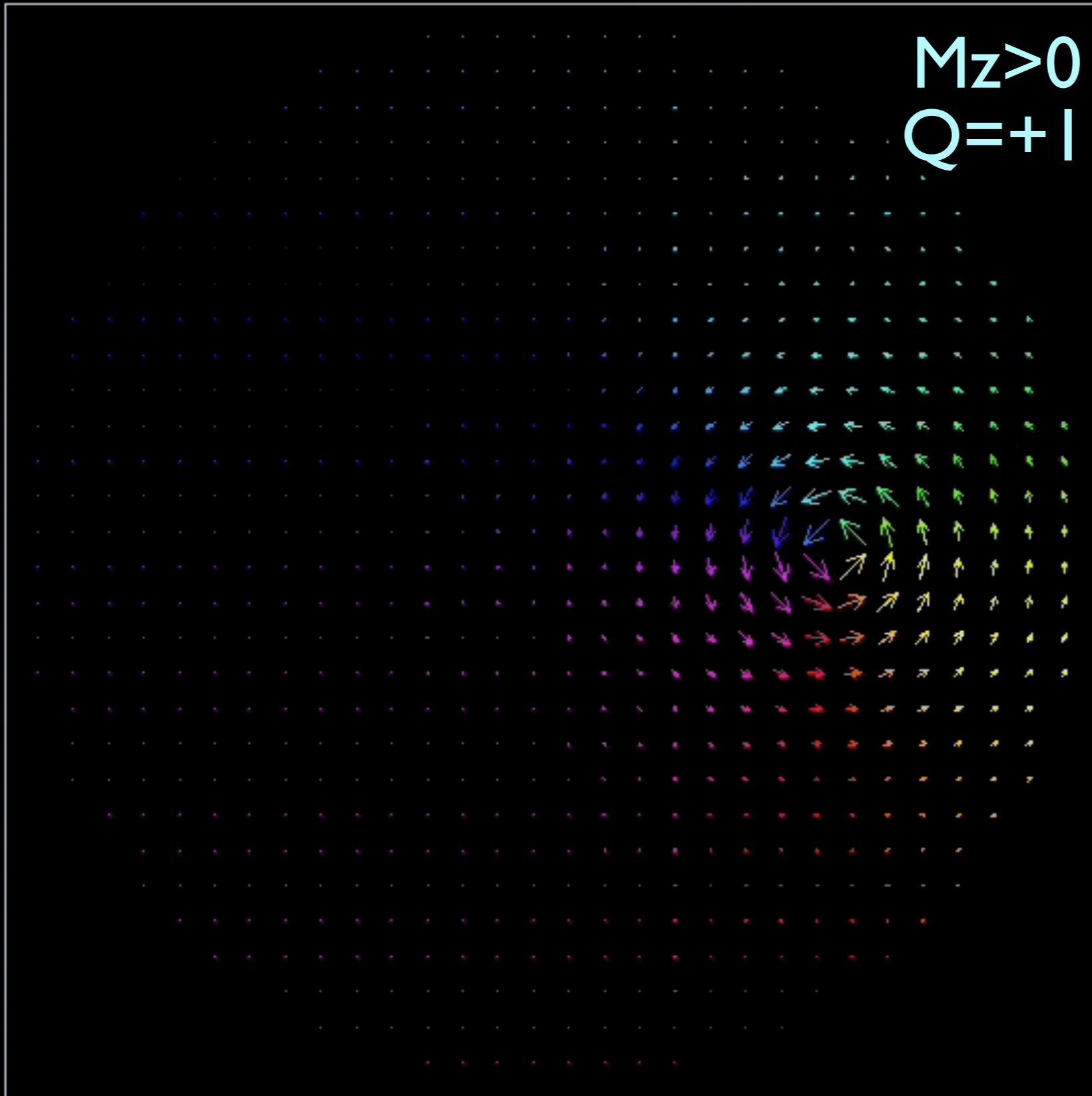
Podemos integrar com Runge-Kutta de quarta ordem.

$$\frac{d\hat{m}_i}{d\tau} = \hat{m}_i \times \vec{b}_i - \alpha \hat{m}_i \times \left(\hat{m}_i \times \vec{b}_i \right) \leftarrow (\text{Se tiver amortecimento})$$

Movimento girotrópico

t= 0.00 E=11.19 ex= 7.59 ddx= 2.02 ddz= 1.58 eb=-0.00

$M_z > 0$
 $Q = +1$



$R=30$ nm,
 $L=5$ nm,
células $a=2.0$ nm
 $\alpha=0.02$

girov vetor:

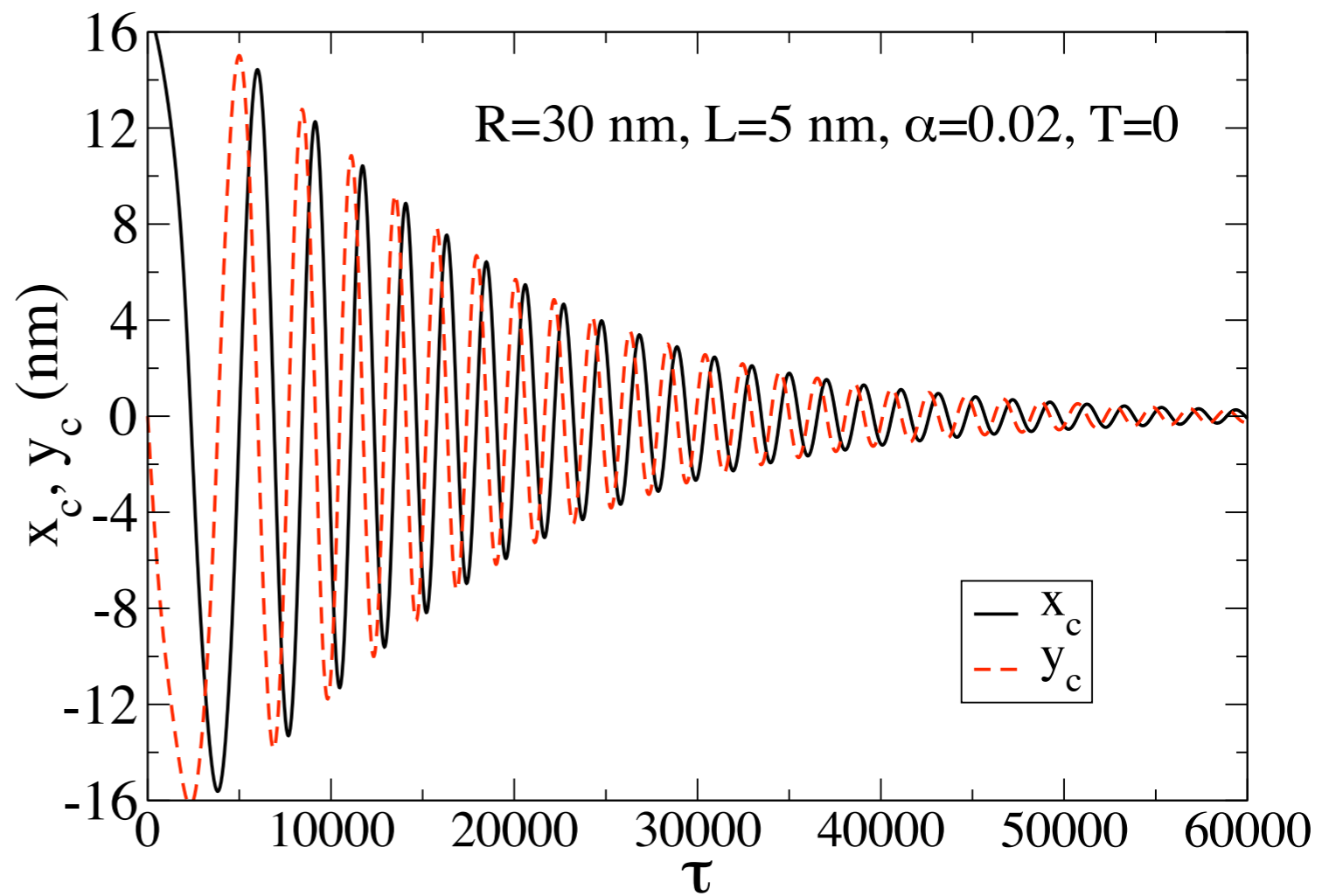
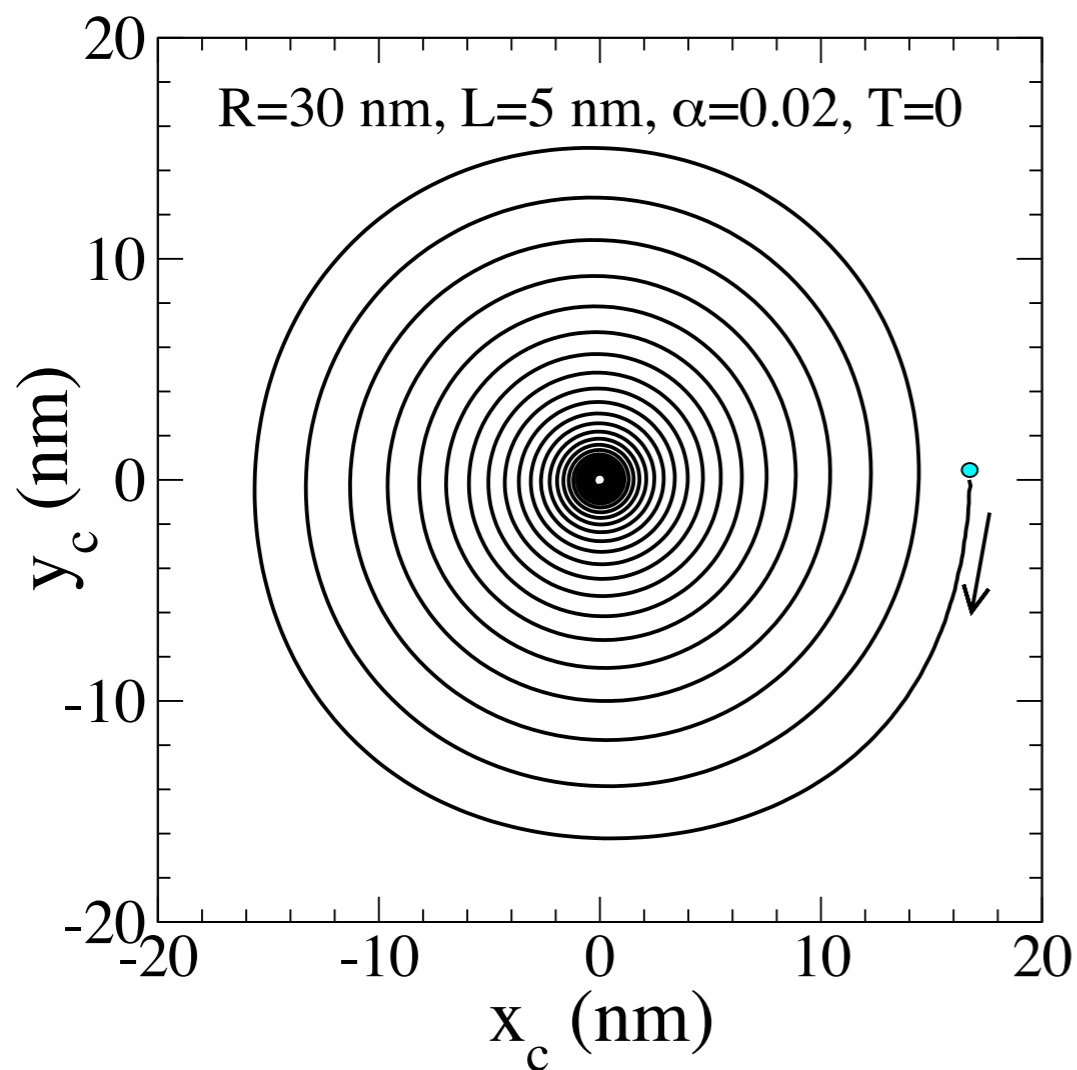
$$\mathbf{G} = 2\pi Q \hat{z}$$

$$Q = \pm 1$$

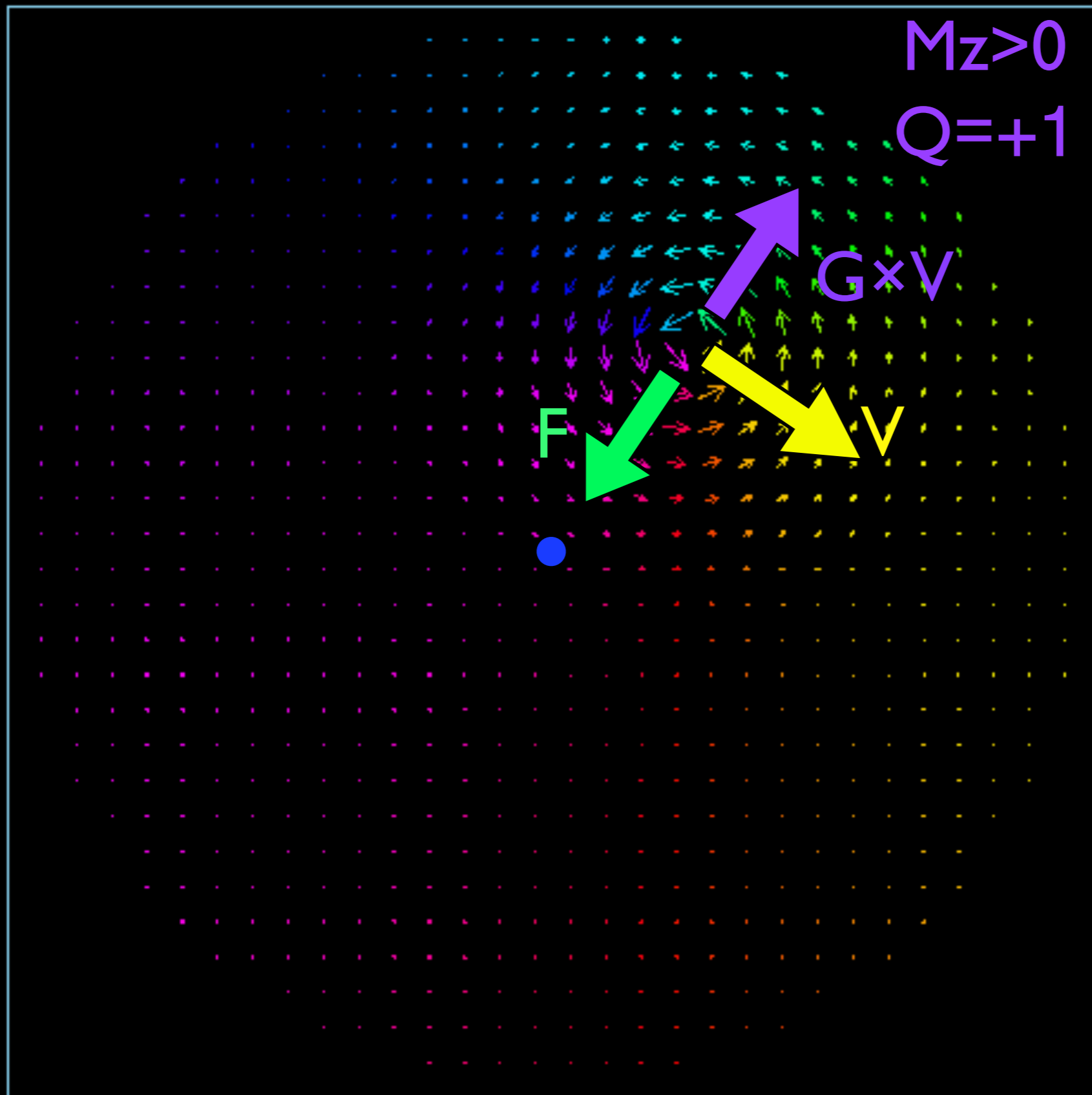
$$\frac{\gamma}{m_0} \mathbf{F} + \mathbf{G} \times \mathbf{V} = 0.$$

$$m_0 = \mu/a^2 = LM_s$$

A posição do núcleo:



t=3980.00 E=11.09 ex= 7.73 ddx= 1.93 ddz= 1.43 eb=-0.00



girovector:

$$\mathbf{G} = 2\pi Q \hat{z}$$

$$Q = q_p = +1$$

$$\frac{\gamma}{m_0} \mathbf{F} + \mathbf{G} \times \mathbf{V} = 0.$$

$$m_0 = \mu/a^2 = LM_s$$

equação de Thiele:

$$\frac{\gamma}{m_0} \mathbf{F} + \mathbf{G} \times \mathbf{V} = 0.$$

força para o centro:

$$\mathbf{F} = -k_F r \hat{r} = -k_F \mathbf{X}$$

solução ($\alpha=0$): movimento circular do núcleo:

$$\mathbf{V} = \frac{\gamma}{GLM_s} \hat{z} \times \mathbf{F} = -\frac{\gamma k_F r}{2\pi QLM_s} \hat{\phi}$$

frequencia do movimento girotrópico:

$$\omega_G = \frac{V}{r} = -\frac{\gamma k_F}{2\pi QLM_s}$$

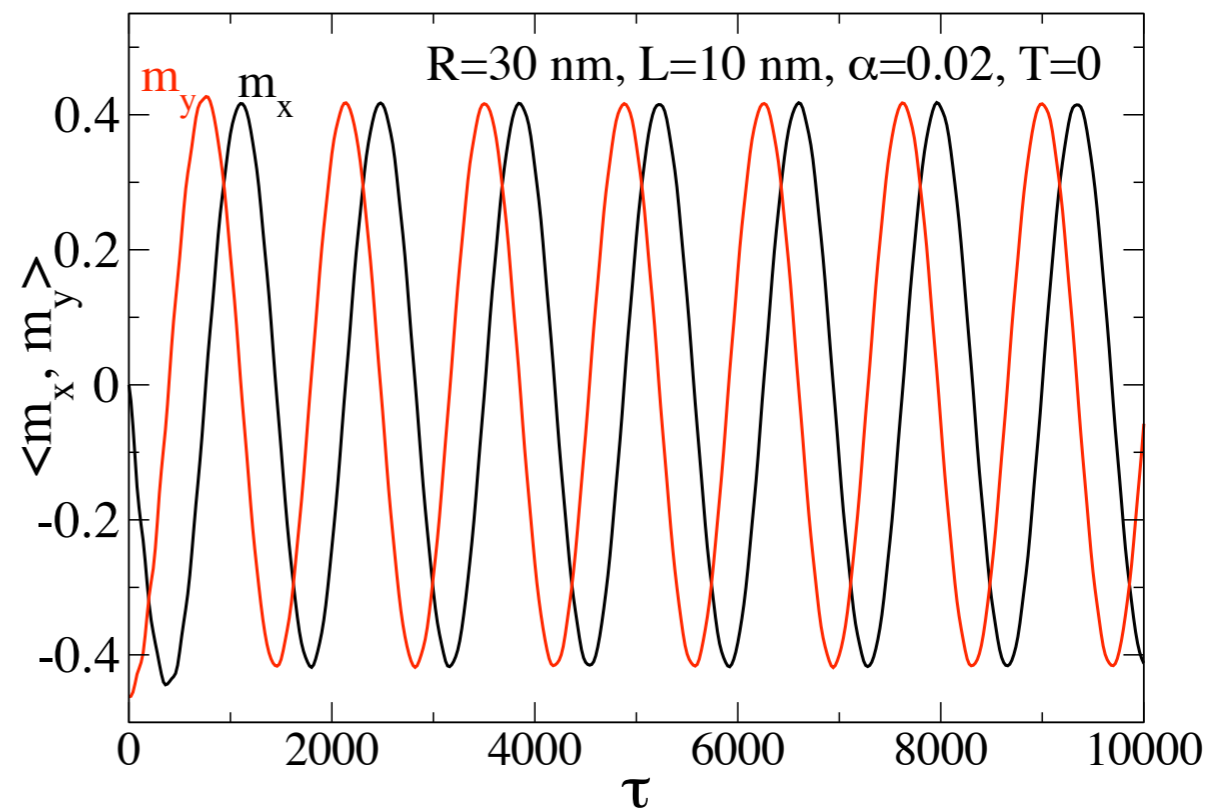
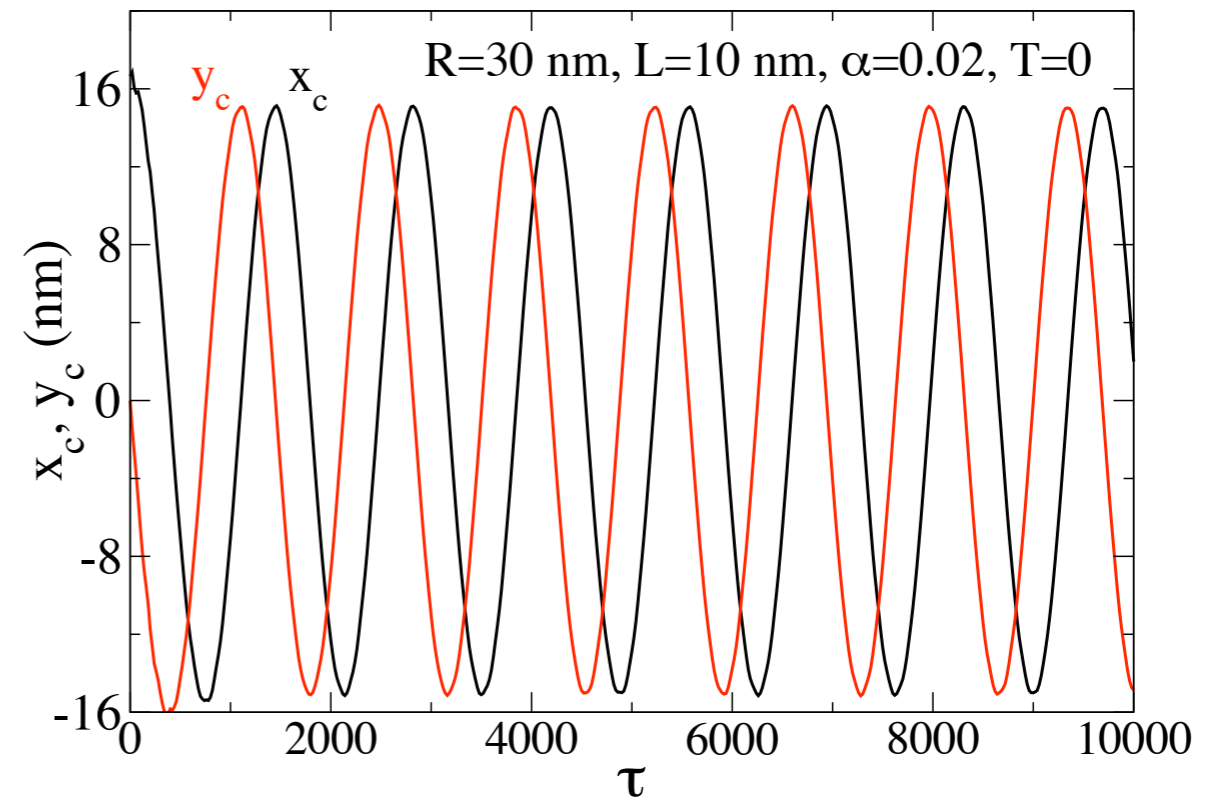
$$f_G = \omega_G / 2\pi$$



O importante é k_F/L .

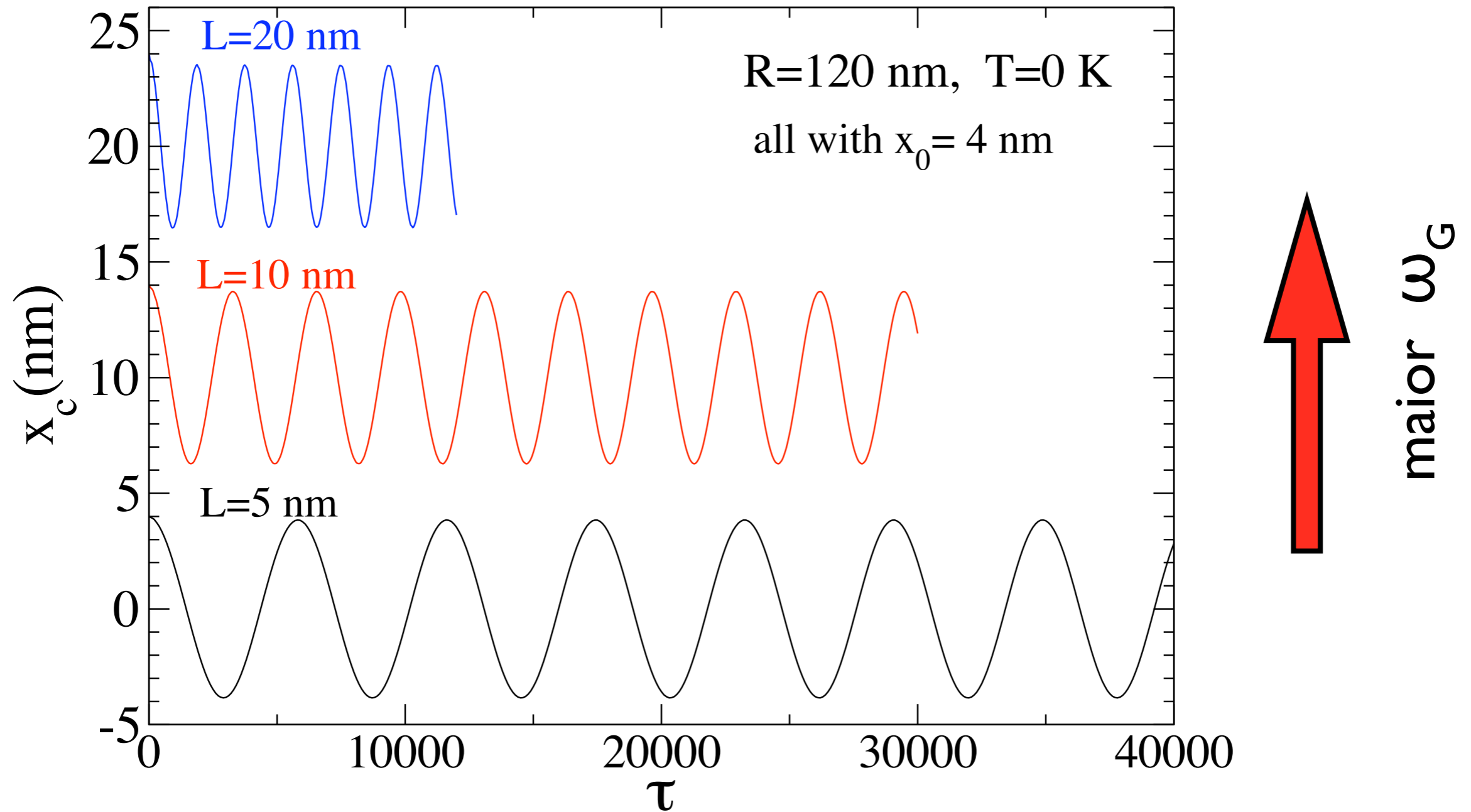
Simulações:

1. Relaxação com vínculo \Rightarrow
posição inicial (x_0, y_0)
2. Evolução com Runge-Kutta-4
e com $\alpha=0.02$ até $\tau=1000$.
3. Evolução com Runge-Kutta-4 e
com $\alpha=0.0$ até alguns períodos
4. Medir a frequência da rotação:
$$\nu_G = 1/\tau_G .$$



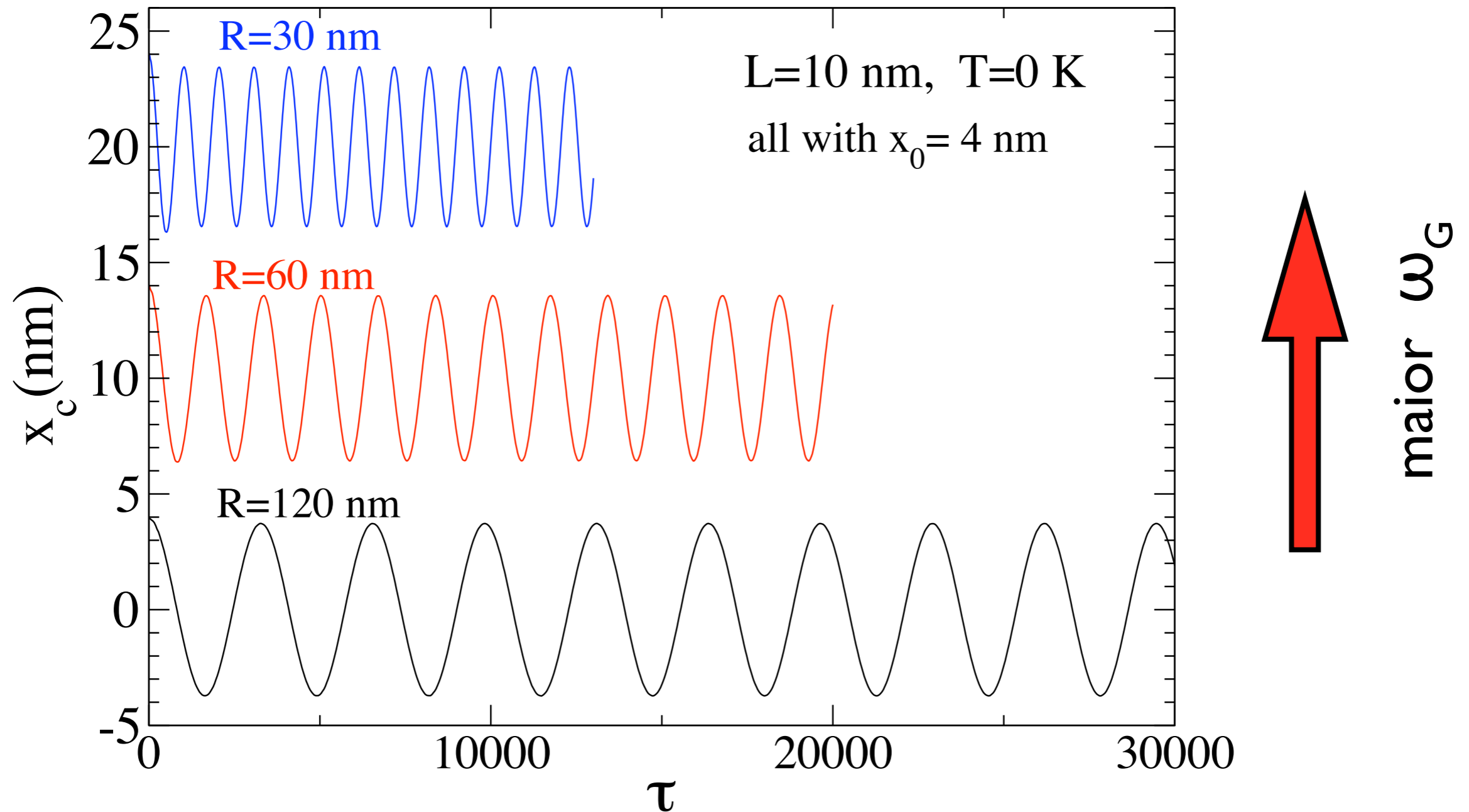
Diferenças com a espessura L do nanoponto.

x_c = coordenada do núcleo



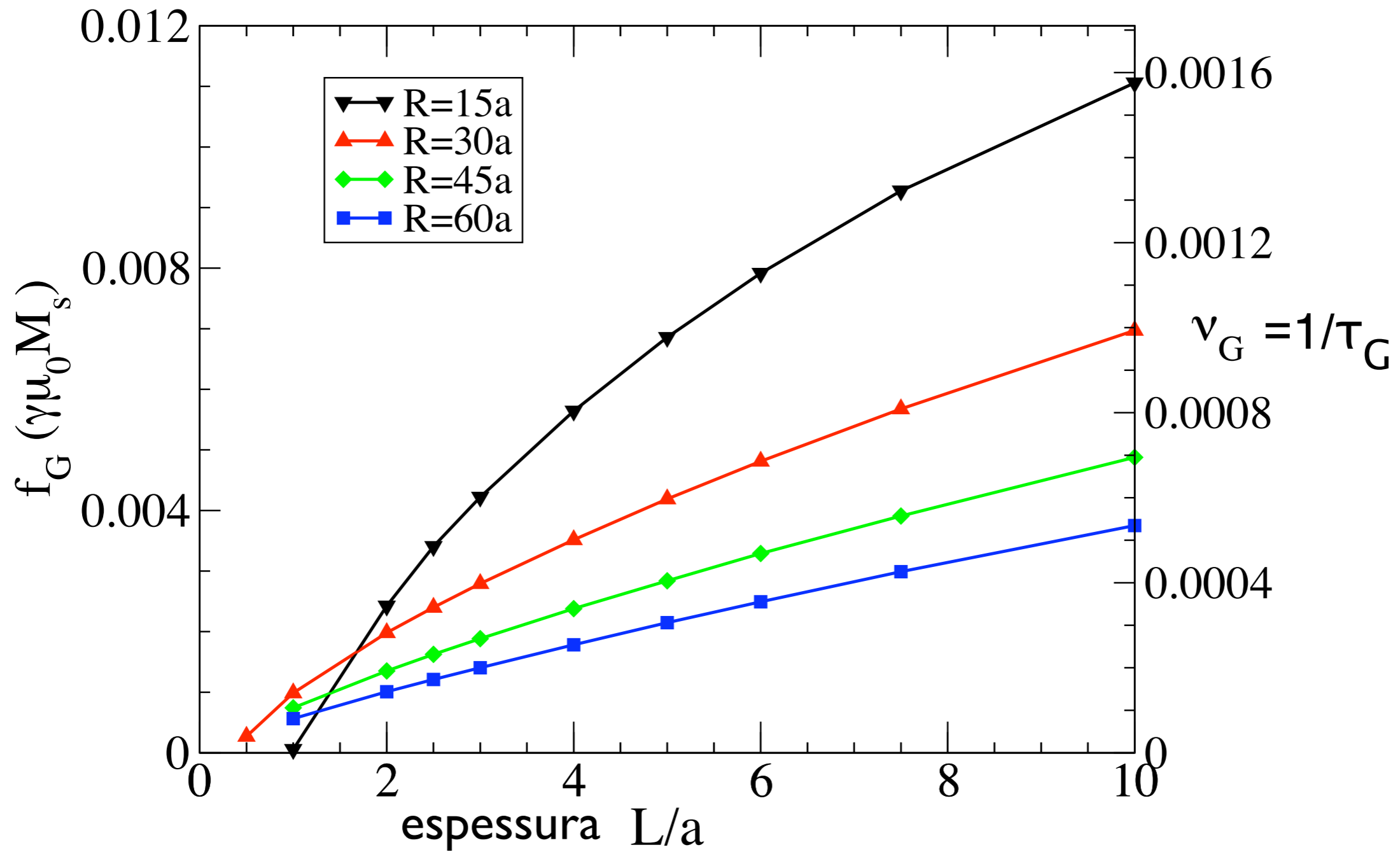
Diferenças com o raio R do nanoponto.

x_c = coordenada do núcleo



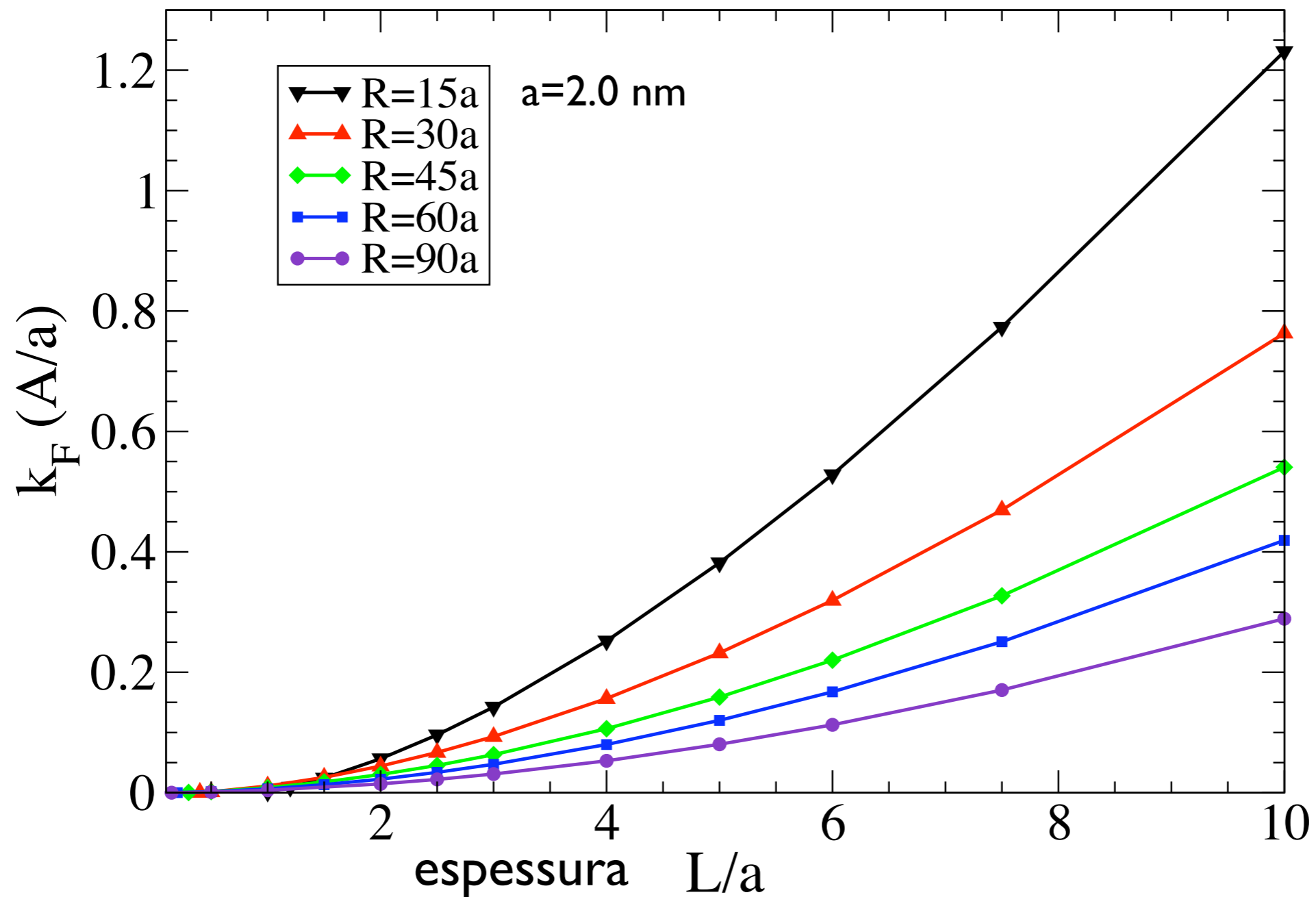
Frequências:

(Calculadas utilizando a dinâmica)



Constante de força: $E(x) \approx E(0) + \frac{1}{2} k_F x^2$

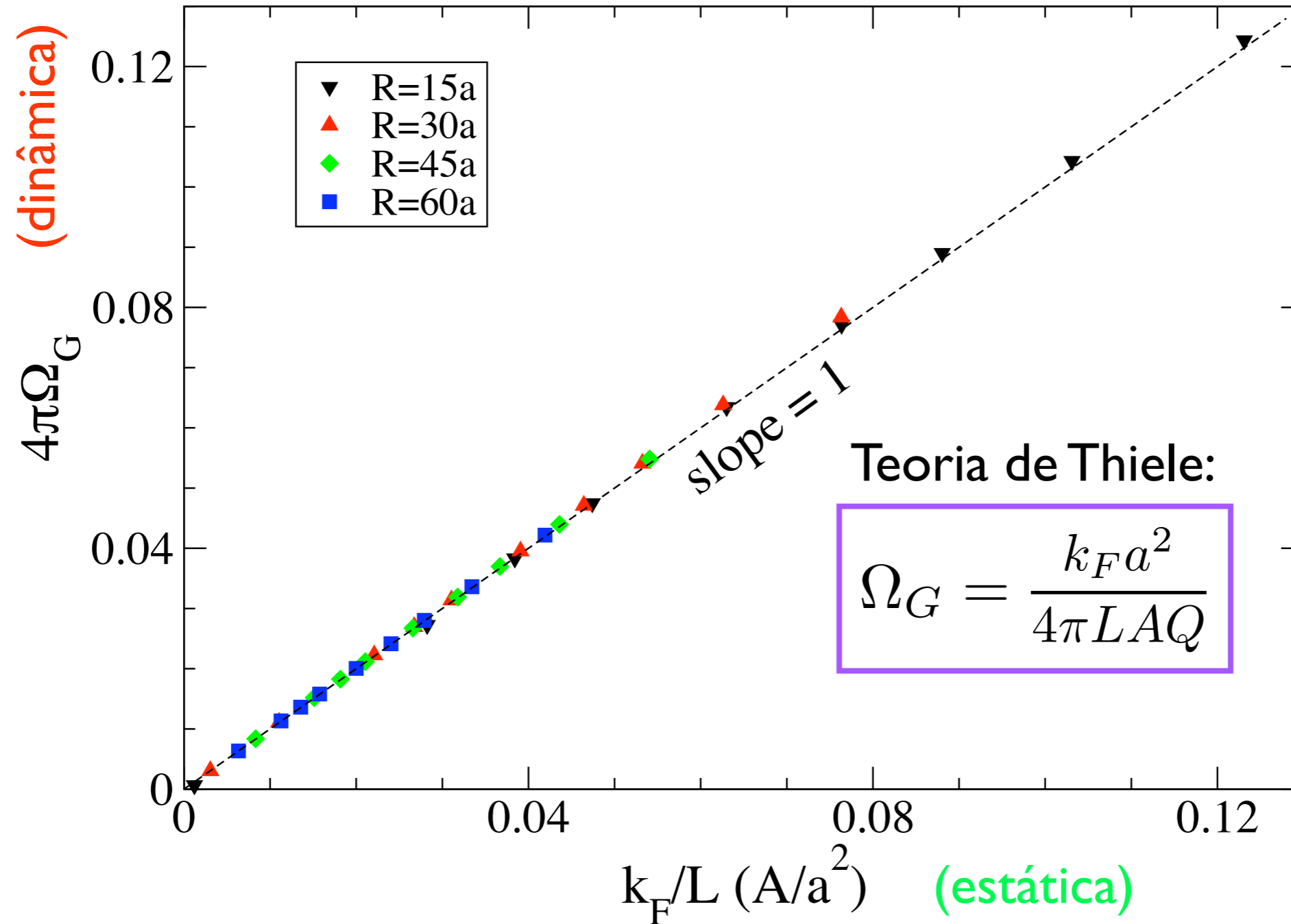
(Calculada utilizando só a energia, não a dinâmica)



A frequencia da dinâmica vs. constante de força:

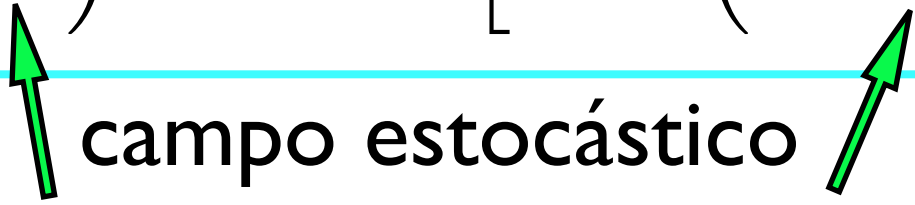
$$\omega_G = \gamma B_0 \Omega_G$$

$$\Omega_G = 2\pi\nu_G = 2\pi/\tau_G$$



Com temperatura $T > 0$. Para o movimento em uma célula:

$$\frac{d\hat{m}}{d\tau} = \hat{m} \times (\vec{b} + \vec{b}_s) - \alpha \hat{m} \times [\hat{m} \times (\vec{b} + \vec{b}_s)]$$


 campo estocástico


teorema da flutuação-dissipação:

$$\langle b_s^\alpha(\tau) b_s^\beta(\tau') \rangle = 2\alpha \mathcal{T} \delta_{\alpha\beta} \delta(\tau - \tau') \quad \mathcal{T} \equiv \frac{kT}{J_{\text{cell}}} = \frac{kT}{2AL}$$

(o campo estocástico carrega energia térmica)

Podemos integrar com o algoritmo de Heun de 2^a ordem:

A. Passo de Euler (predição). $\int_{\tau_n}^{\tau_n + \Delta\tau} d\tau b_s^x(\tau) \longrightarrow \sigma_s w_n^x$

B. Passo do Trapezóide (correção). $\sigma_s = \sqrt{2\alpha \mathcal{T} \Delta\tau}$ 

ran()

Movimento girotrópico espontâneo com $T > 0$ (elipse)

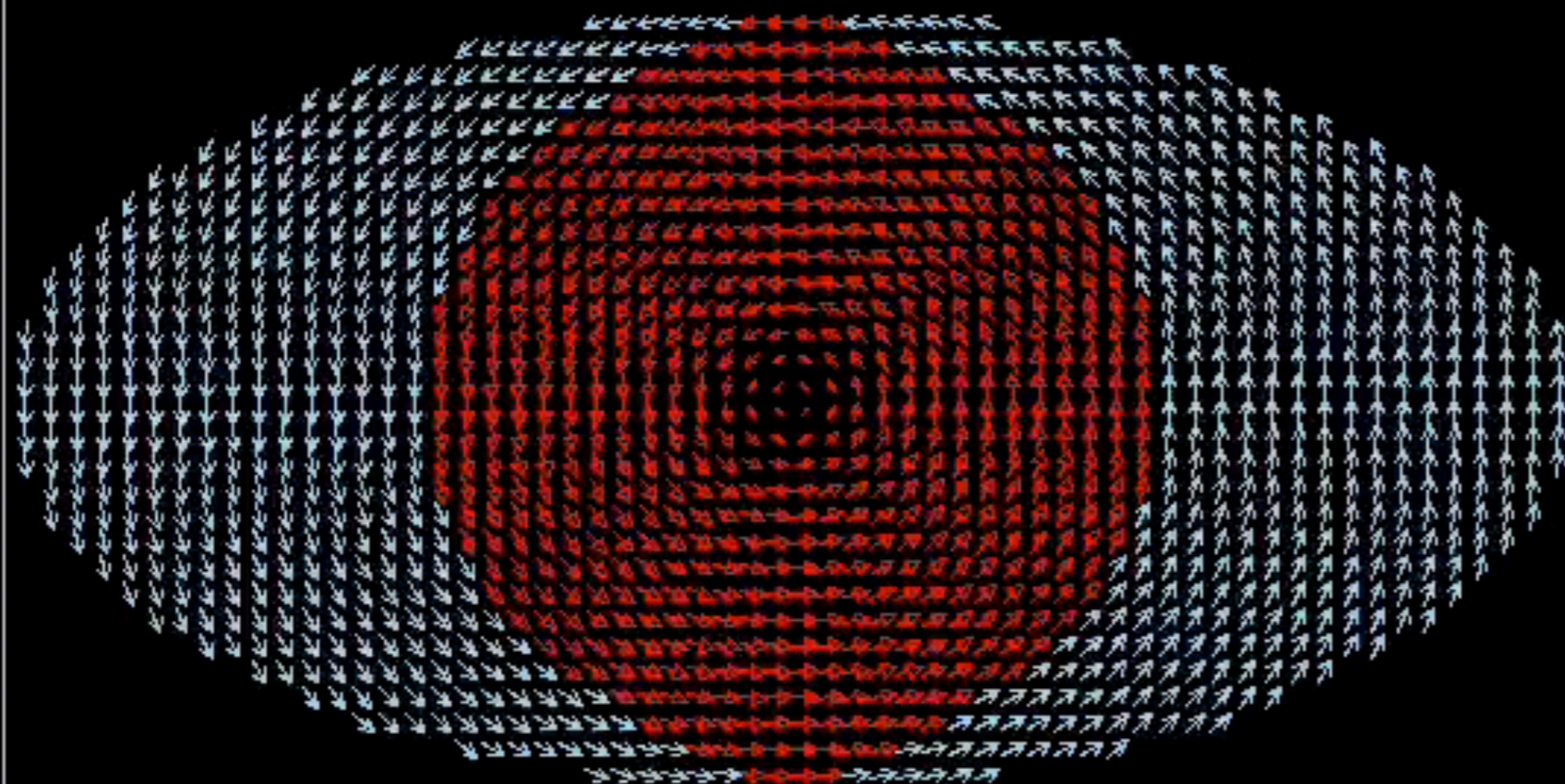
t= 0,00 E=14,51 ex= 9,72 ddx= 3,43 ddz= 1,36 eb=-0,00

120nm x 60nm x 5.0nm @ T=300K

$m_z > 0$

$m_z < 0$

m_x, m_y



posição inicial

$$x_0 = y_0 = 0$$

Movimento girotrópico espontâneo com $T > 0$ (elipse)

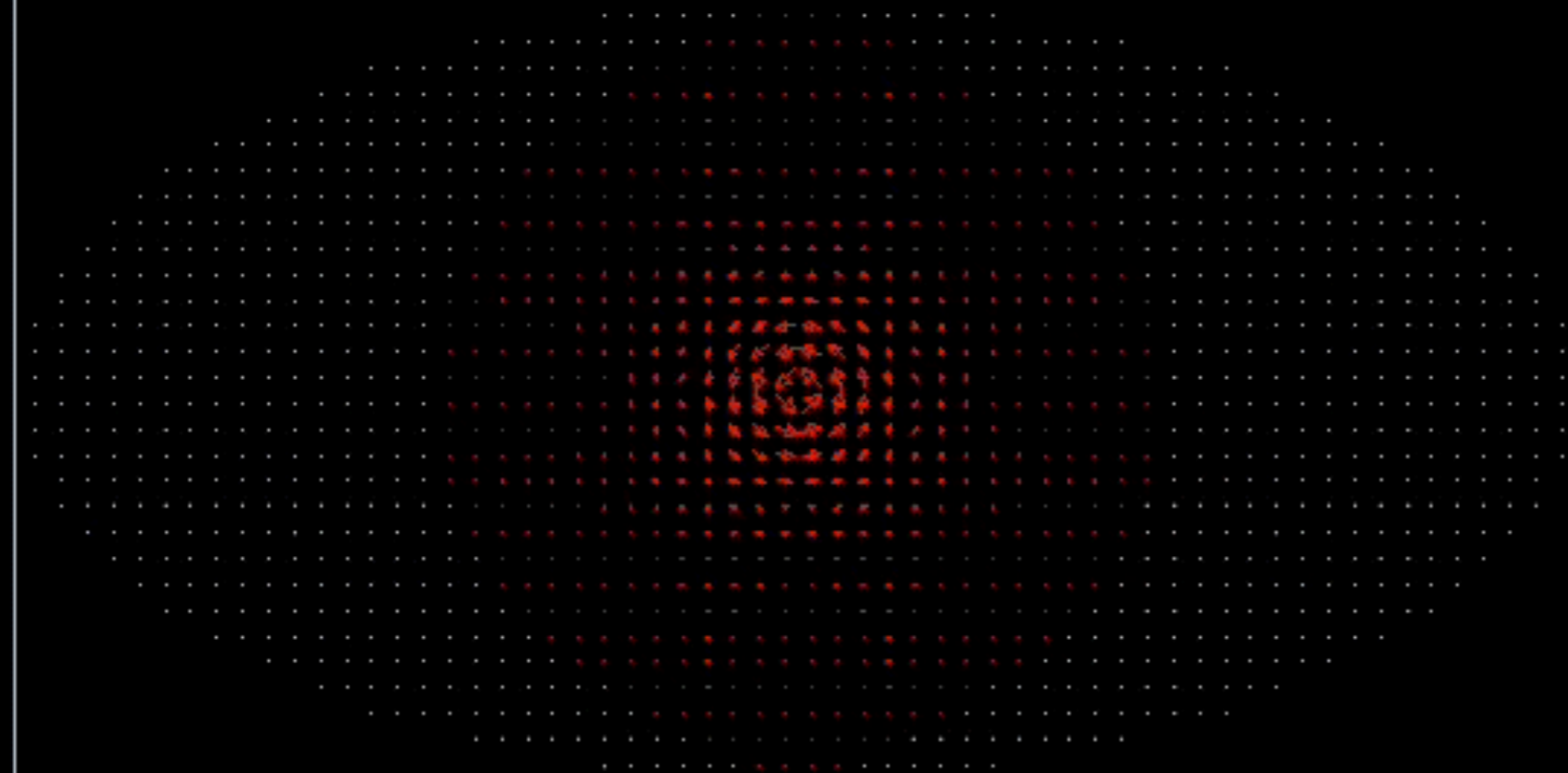
t= 0,00 E=14,51 ex= 9,72 ddx= 3,43 ddz= 1,36 eb=-0,00

120nm x 60nm x 5.0nm @ T=300K

$m_z > 0$

$m_z < 0$

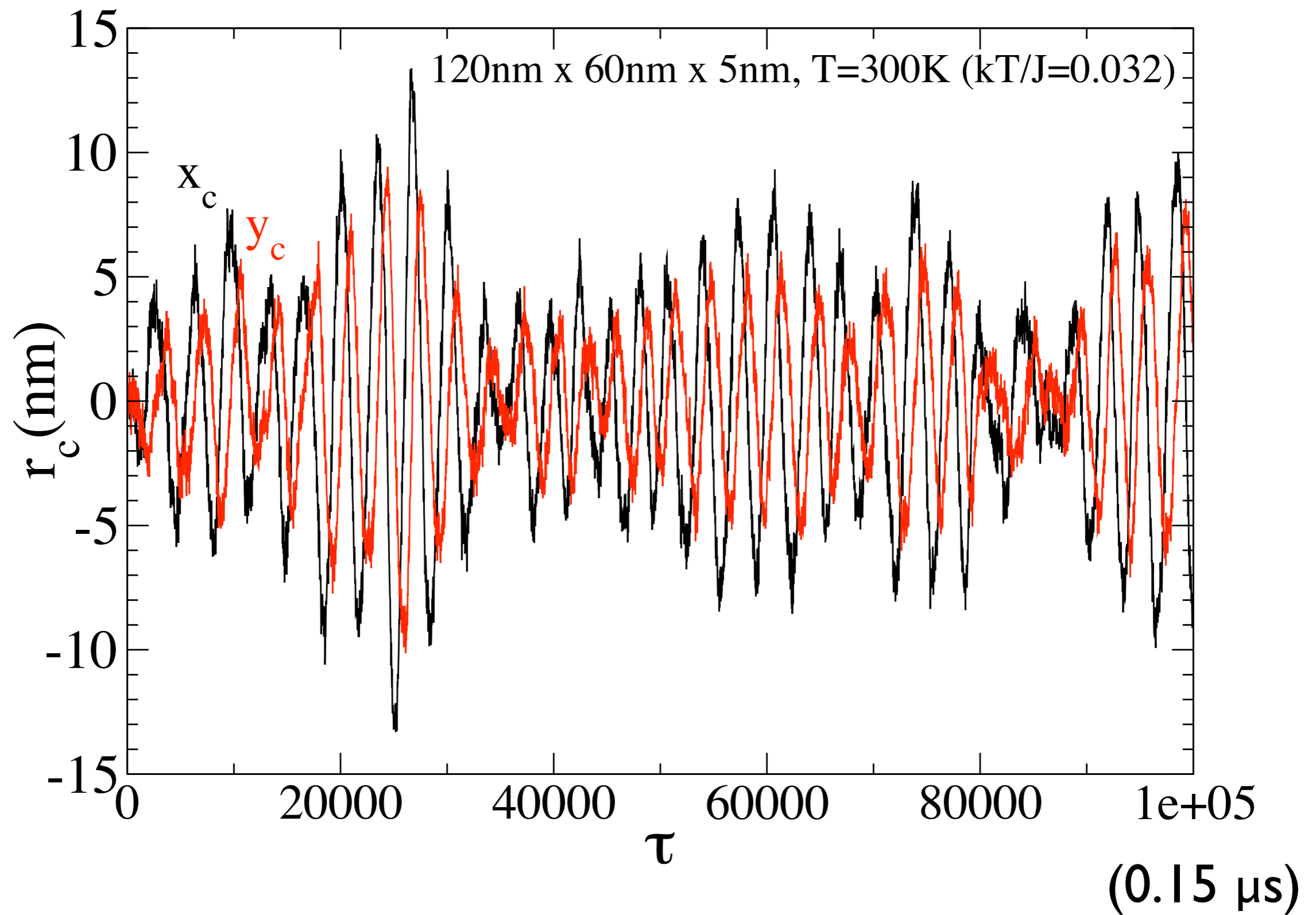
m_z



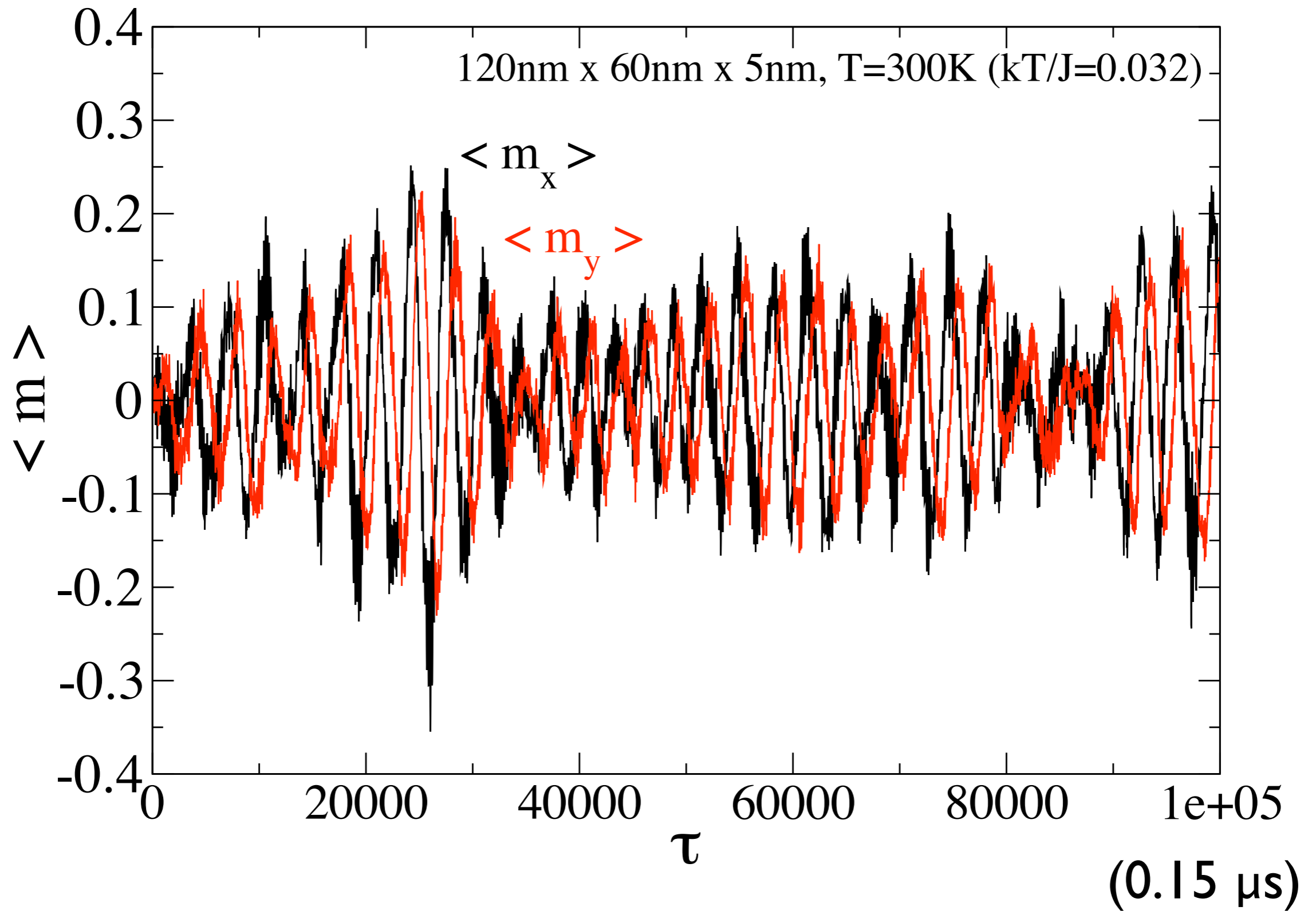
posição inicial

$$x_0 = y_0 = 0$$

posição do núcleo: (elipse)



magnetização total: (elipse)



Movimento girotrópico espontâneo com $T > 0$ (elipse)

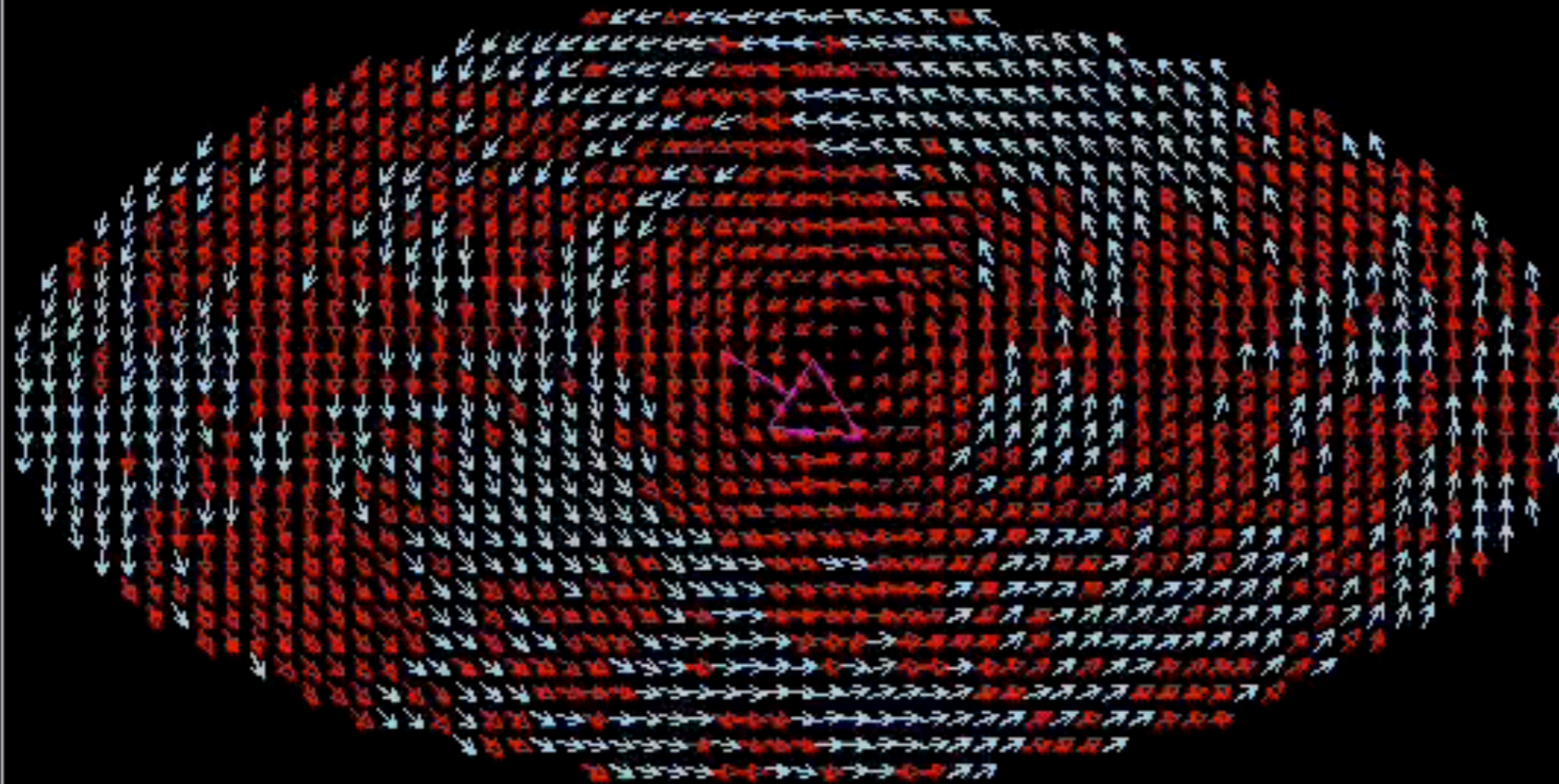
t=17000,00 E=60,28 ex=54,00 ddx= 3,97 ddz= 2,31 eb=-0,00

120nm x 60nm x 5.0nm @ T=300K

$m_z > 0$

$m_z < 0$

m_x, m_y



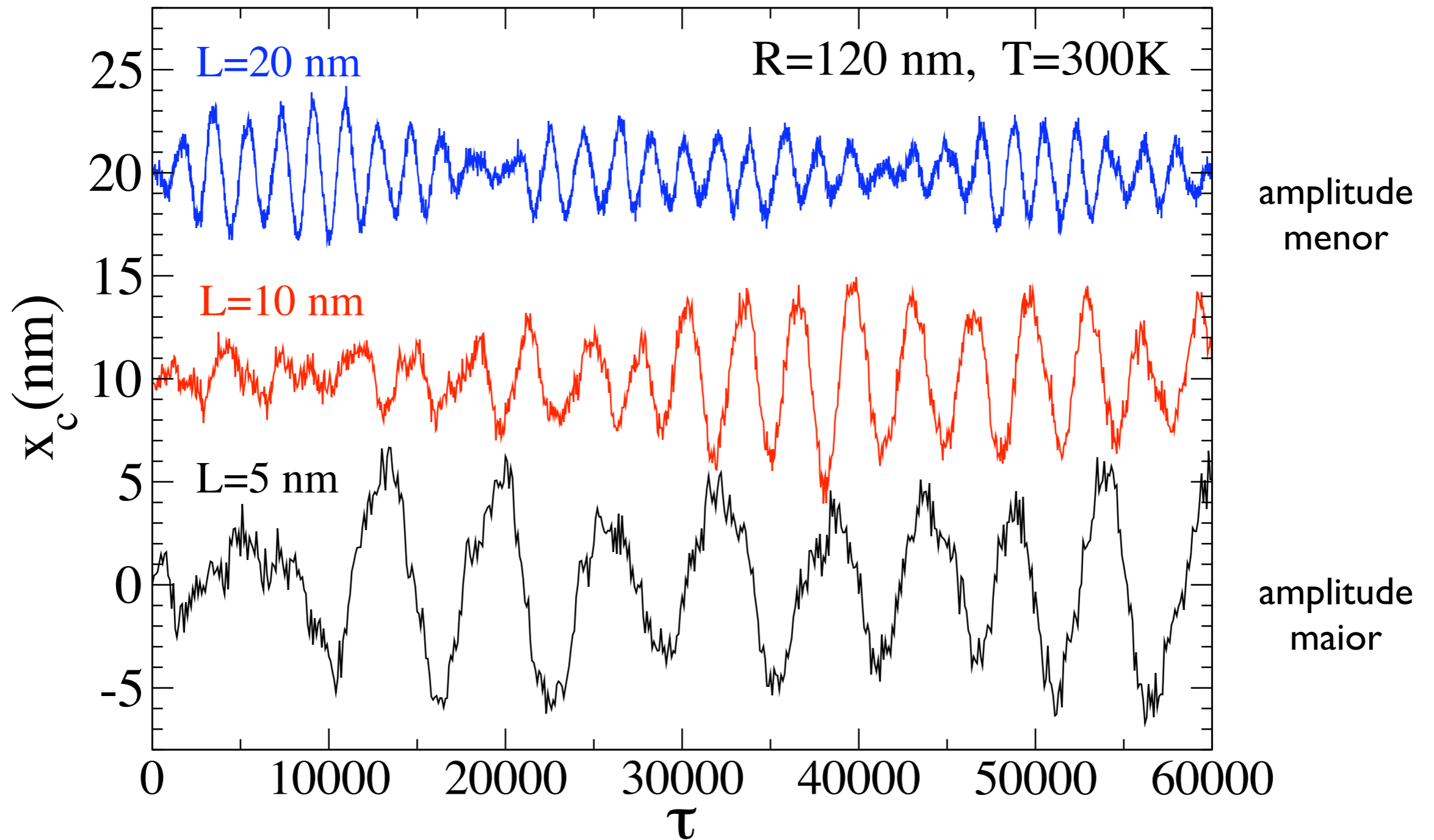
posição inicial

$$x_0 = y_0 = 0$$

A seta grande

$$= \langle M \rangle$$

Movimento espontâneo (nanopontos circulares):



Sumário, dinâmica dos vórtices:

Sem campo magnético externo, um vórtice começa a mover-se naturalmente no **movimento girotrópico**, quando não está no centro do nanoponto.

A **frequencia** ω_G do movimento girotrópico é proporcional a k_F/L , para nanopontos circulares.

Flutuações de **temperatura** podem iniciar este movimento, que deve ter uma amplitude relacionada com as idéias de compartilhamento de energia igualmente entre todos os graus da liberdade.

A dinâmica nas **elipses** deve ser ainda mais interessante, por causa de se ter dois eixos diferentes.

wysin@phys.ksu.edu
www.phys.ksu.edu/personal/wysin